

Vysoká škola: **strojní a textilní
v Liberci**

Katedra: **textilních strojů**

Fakulta: **strojní**

Školní rok: **1973/74**

DIPLOMOVÝ ÚKOL

pro

Jaroslav VACEK

obor **23-34-8 Výrobní stroje a zařízení - textilní stroje**

Protože jste splnil... požadavky učebního plánu, zadává Vám vedoucí katedry ve smyslu směrnic ministerstva školství o státních závěrečných zkouškách tento diplomový úkol:

Název tématu: **Tiskací stroj s rotační šablonou**

Pokyny pro vypracování:

V poslední době se ve světě stále více uplatňují při potiskování textilních materiálů tiskací stroje s rotační šablonou.

Náš tiskací stroj je řešen obdobně, jako tiskací stroje válcové, to znamená, že šablony jsou umístěny na obvodě centrálního válce, nazývaného též preser. Tato zvláštnost předpokládá též odlišné řešení nanášení barvy. Tento princip klade nároky na hmotnost trysky a přináší problémy spojené s průhybem trysky a s jejím chvěním. Další problém spočívá v tlakové kolisi vznikající při potiskování vzorů nerovnoměrně rozložených během otáčky šablony.

Navrhněte konstrukci trysky s minimální hmotností, která bude mít malý průhyb a bude příčně stabilní. Tryskový systém doplňte vhodným zařízením, snižujícím tlakové kolise při nerovnoměrném tisku.

<u>Technická data:</u>	max. délka trysky	3200 mm
	max. tlak v trysce	$5 \cdot 10^4$ Pa
	max. průhyb	0,2 mm
	max. přitlak	800 N
	max. výška trysky	135 mm

Autorské právo se řídí směrnicemi MŠK pro státní závěrečné zkoušky č. j. 31 727/62-III/2 ze dne 13. července 1962-Význam I ŠK XII, seční 24 ze dne 31. 8. 1962 s 15 autorstvěti zákonem č. 115/53 S.

SEVT - 49 395 0

V 100/74

Grafia 22 3577 73

Rozsah grafických laboratorních prací: **2 výkresy sestavy zařízení**

Rozsah průvodní zprávy: **10 stran**

Seznam odborné literatury:

Zimmer, J. : Tisk přenosového papíru rotačními šablonami.
Melliand Textilberichte - 1973/11.

Tisk rotační šablonou. Průzkumová zpráva, VÚTS, 1964.

Vedoucí diplomové práce: **Ing. Jaroslav Novák, Elitex, Liberec**

Konsultanti: **Ing. František Egrt**
s. František Synek, Totex n.p., Tanvald

Datum zahájení diplomové práce: **15. 10. 1973**

Datum odevzdání diplomové práce: **31. 5. 1974**



Charvát
Doc. Ing. Jaroslav Charvát, CSc

Vedoucí katedry

Doc. Ing. Oldřich Krejčíř, CSc

Děkan

v

Liberci

dne **6. 11.**

1973

VŠST Liberec - Fakulta strojní

Stavba výrobních strojů - textilní stroje

Ober 23 - 34 - 8

Vedoucí práce : Ing. Jaroslav Novák

Konsultant : Ing. František Egert
s. František Synek

Počet stran : 54

Počet příloh a tab. : 4

Počet obrázků : 18

Počet výkresů : 2

Počet modelů :

DT : 677.052.001.7

VŠST Liberec

Fakulta strojní

ROTAČNÍ ŠABLONA

KTS

str: 2

"Mástopřísežně prohlašuji, že jsem diplomovou práci vypracoval samostatně s použitím uvedené literatury"

V Liberci dne 31.5.1974

...J. Vach

Obsah

Seznam příloh a výkresů.....	str. 5
Seznam použitých zkrátek a symbolů.....	str. 6
1. Úvod.....	str. 7
1.1 Vývoj textilního tisku.....	str. 8
1.2 Zpracování textilií.....	str. 14
1.3 Způsoby tisku.....	str. 16
1.4 Historie rotačního šablonového tisku.....	str. 23
2. Řešení průhybu trysky.....	str. 26
2.1 Průhyb trysky od přítlačku.....	str. 26
2.1.1 Určení ohybových momentů.....	str. 27
2.1.2 Výpočet momentů setrvačnosti.....	str. 27
2.1.3 Výpočet průhybu.....	str. 30
2.1.4 Výpočet integračních konstant.....	str. 32
2.1.5 Určení maximálního průhybu trysky při zatížení přítlakem.....	str. 34
2.2 Průhyb trysky od vlastní váhy.....	str. 34
2.2.1 Určení váhy trysky.....	str. 34
2.2.2 Určení ohybových momentů.....	str. 36
2.2.3 Řešení průhybu.....	str. 37
2.2.4 Výpočet integračních konstant.....	str. 38
2.2.5 Určení maximálního průhybu trysky způsobeného vlastní vahou.....	str. 40
2.3 Výsledný průhyb trysky.....	str. 40
2.4 Výpočet předpínací síly F v napínacím šroubu... 2.4.1 Určení ohybových momentů.....	str. 41
2.4.2 Výsledný ohybový moment od přítlaku, vlastní váhy, předpětí.....	str. 44

2.4.3 Vlastní řešení průhybu.....	str. 44
2.4.4 Výpočet integračních konstant.....	str. 46
2.4.5 Výpočet síly F.....	str. 48
2.4.6 Kontrola napínacího šroubu.....	str. 49
2.5 Namáhání trysky krutem.....	str. 49
3.Tlakový systém dodávky barvy.....	str. 50
3.1 Určení objemu akumulátoru.....	str. 51
4.Závěr.....	str. 53
Seznam literatury.....	str. 54

Seznam příloh a výkresů

Příloha 3.1.1 - Závislost změny tlaku v akumulátoru a změny akumulovaného množství pro určité výchzí tlaky

Příloha 3.1.2 - Nomogram spotřeby tiskací barvy během jedné otáčky šablony

Příloha 3.1.3 - Nomogram spotřeby tiskací barvy během jedné otáčky šablony pro u nás používaný sortiment šablon

Příloha 3.1.4 - Závislost přírůstku tlaku a objemu pro vybranou řadu akumulátoru

Výkres ÚP - 0.001 - výkres trysky

Výkres ÚP - 0.002 - výkres akumulátoru

Seznam použitých zkrátek a symbolů

- w.....průhyb
M.....ohybový moment
 J_ymoment setrvačnosti
E.....modul pružnosti materiálu
q.....zatížení jednotkové délky
R.....silová reakce
x.....délková souřadnice
F.....síla
P.....plocha
s.....bezpečnost
 σnapětí
Q.....množství tiskací barvy
V.....objem
 ΔVzměna objemu
p.....tlak
 Δpzměna tlaku

1. Úvod

V poslední době se ve světě stále více uplatňují při potiskování textilní tiskací stroje s rotační šablonou. Také v ČSSR byl vyvinut tiskací stroj s rotační šablonou, avšak zcela odlišné konstrukce oproti zahraničním strojům. Naš tiskací stroj je řešen obdobně jako tiskací stroje válcové, to znamená, že šablony jsou umístěny na obvodě centrálního válce. Tato zvláštnost předpokládá též odlišné řešení nanášení barvy. V našem případě se jedná o trysku opatřenou gumovými břity, které tvorí uzavřený prostor. Tento princip klade nároky na hmotnost trysky a přináší problémy spojené s průhybem trysky a s jejím chvěním. Další problém spočívá v kolísání tlaku během potiskování tkaniny.

1.1 Vývoj textilního tisku

Zpracování a zušlechtlování bavlny, vlny a lnu náleží k nejstarší lidské výrobní činnosti. Současně se zpracováním vláknin k edivání a dekoracím se člověk zajímal o možnost zdobení jednotvárné plochy tkanin. Zejména u národních žijících v tropickém pásmu má šat především zdobit, ale má také funkci náboženskou, bojovou a milostnou. Barvy jsou důležitější než ochrana, krásy, roslíku, libí se. Tyto podněty daly vznik potiskování textilií.

Jednotlivé národy používaly různých metod pestřeho vzorování textilií místním obarvováním. Lze předpokládat, že první metodou všech národů na nižším stupni vývoje bylo ruční namášení barev nebo barviv na tkaniny malováním. Vyšpřelejší národy vyvinuly poněkud dokonalejší techniky.

Na dálém východě se již dávno před naším letopočtem používalo k namášení barev na tkaniny šablony vyřezané z ozdobného papíru a zpevněného jemnou vlasovou sítkou. Byla to tehdy technika, ze které se později vyvinul tzv. sítový nebo filmový tisk. V některých asijských státech, zejména v Indii a Japonsku, se původně využívaly tkaniny tzv. podvazováním. Výrobky získané touto technikou, která se dnes obecně označuje jako rezerva, nazývaly se v přední Indii "bandhani" a v Japonsku "šihory", což značí svazování nebo podvazování. Tato technika zlepžela v tom, že podvazováním některých míst tkaniny se zabránilo pronikání barviva do těchto míst při barvení. Kombinací několikanásobného podvazování na různých místech

a několikanásobného barvení různými barvivy se dosahovalo vícebarevných efektů. Zvláště v Indii byla tato technika rezerv vyvinuta na pozoruhodnou úrovní, a proto předpokládáme, že Indie je kolébkou potiskování textilií. V Evropě bylo umění vzorovat textilie místním namášením barviv původně neznámé. Teprve asi v devátém století našeho letopočtu se začaly tkaniny potiskovat pigmentovými barvivy a ~~vysypávanými~~ oleji a teprve v 17. stol. se počaly v Evropě potiskovat tkaniny způsobem připomínajícím již některé dnešní techniky. Obě uvedené způsoby pocházejí podle dnešních znalostí rovněž z Indie. Odtamtud se šířilo umění vzorování textilií tiskem v podstatě dvěma cestami, které se setkaly v Evropě, kde první způsob byl již znám sedm století. První směr šíření vedl pevninou. Znalost potiskování textilií se zvolna rozšiřovala Blízkým východem a Turckem do Itálie. Maurové ji přenesli do Španělska a na Sicílii. Odtamtud se postupně rozšířila po celé Evropě. V Portugalsku se již textilie potiskovaly v 10. stol. Druhý směr šíření vedl námořními cestami. Počátkem 17. stol. se seznámili s potiskováním textilií v Indii Holanďané a pak Angličané. Východoindická společnost dovážela do Evropy značné množství tkanin zvaných "indické", "chitz", "chintz", "surates", "pintados", "pantos", "calico", atd., které vynikaly cizokrajným, jemným a pohádkovým vzorováním. Z touhy po přepravu se okamžitě staly módnou u vládnoucí třídy 17. až 18. stol. Značná poptávka po těchto tkaninách nemohla být kryta přímým dovozem a konečně i zákaz jejich

dovozu do Francie, Anglie a Německa vzbudil snahu vyrábět toto zboží přímo v Evropě. Tyto snahy nezavazovaly tedy na současný stav techniky potiskování tkanin v Evropě používané již asi od 9. stol. Tehdejší evropské tisky byly sice z hlediska výtvarného pozoruhodné, ale barevností a stálostí vzerování nebyly rovnocenné tiskům dováženým z Východu. Snahy napodobit indické tisky naměly z počátku velký úspěch. Po velkých obtížích, jejichž zdolání se zúčastnila i anglická královská společnost, která ustavila k tomuto účelu zvláštní komisi, podařilo se konečně roku 1678 napodobit indickou metodu potiskování textilií. Metoda záležela v podstatě v použití mořidlových barviv a v rezervování indiga.

Také v Holandsku se tímto problémem horečně zabývali. Pokusy získat přímé informace prostřednictvím lodních kapitánů a lékařů nebyly úspěšné. Také pokusy zaměstnávat indické řemeslníky neměly úspěch. Holanďané hledali proto odborníky ve státech do kterých již dříve pronikla znalost indických metod, zejména v Turecku, kde se v 17. stol. řemeslně používalo jak tisku olejovými barvami, tak i mořidel a rezerv. Tato cesta byla úspěšnější, neboť již roku 1678 dva amsterodamskí kupci založili v Amerafoortu tiskárnu bavlněných tkanin "podle východoindického způsobu" pod vedením tureckého řemeslníka.

Pomocí průmyslové špiónáže se přenesla znalost indických metod z Holandska do Německa, kde zřídil roku 1689 Georg Neuhoff v Augsburgu moderní tiskárnu. V roce 1720 vznikly první tiskárny v dnešním smyslu slova v Anglii a ve

Švýcarsku, v roce 1740 v Sasku, Bádensku, Elsasku, Francii a Rakousku, v roce 1763 v Čechách, v roce 1840 v Rusku a konečně v roce 1900 v Itálii, Španělsku, Maďarsku, USA, Mexiku a Japonsku.

Vývoji textilního tisku v Evropě lze ovšem porozumět, přihlédneme-li k historickým podmíinkám těchto dob, jako byly úspěchy prvních dálňových plaveb, rozkvět měst, touha po přesypu, dovoz bavlny, podnikavost nastupující buržoazie, atd. Bez přehánění lze říci, že rychlý vývoj potiskování textilií byl jednou z hnacích sil průmyslové revoluce, která vedla k rozkvětu kapitalismu. Veliká poptávka po potiskových bavlněných tkaninách vedla k mechanizaci přádelníků a tkalcovenek a rozvoji bělištví.

Holandské používali k namíšení rezerv na tkeminy dřevěných modelů s reliéfními vzory a jejich náboženští emigranti přenesli tuto techniku do Anglie, kde byla plně mechanizována. Rané pokusy o mechanisaci lze zjistit ovšem i na kontinentě. Dupasquier v Neuenburgu mechanizoval dávkování tiskací barvy v manuálním zařízení a roku 1834 zkonstruoval Perrot první jednoduchý stroj k potiskování tkanin reliéfními modely, nazvaný podle něho perotina. Později roku 1880 zkonstruoval Ebinger první reliéfní válcový tiskací stroj. Žádný z těchto způsobů však nebyl technicky plně vyhovujícím řešením. Základem dnešního strojového tisku textilií se stal hlubotiskový stroj, zkonstruovaný Skotem Thomase Belliem roku 1770. Pokusy zkonstruovat válcový tiskací stroj jsou však jistě starší. Tak např. roku 1701 popsal Gloriez z Moravy stroj, jehož

podstatu tvořil dřevěný tiskací válec, na nějž se barva nanášela nanášecím válečkem. Bell ohlásil svůj patent roku 1783 a první šestibarevný tiskací stroj podle jeho patentu byl uveden v chod o dvě léta později v Mossney u Prestonu. U téhoto stroje bylo poprvé použito ocelové stěrky ke stírání přebytečné barvy, tak že se barva přenášela na tkaninu pouze vyhloubenými rytinami. Bellův stroj nahradil práci 40 ručních tiskářů. Poměr mezi strojním a ručním tiskem se pak postupně měnil v neprospěch ručního tisku. Ruční tisk se pak stále více omezoval, až konečně se ručně potiskovaly pouze kapesníky, šátky a pod. nebo velmi široké tkaniny, popř. zcela malé položky. Oživil opět teprve značně později zavedením tzv. síťového tisku. Technika tisku přejatá z Indie pouze tisk přímý a rezervy a z barviv byla známa pouze přírodní mořidlová barviva a přírodní indigo, nepřihlížíme-li k pigmentovým barvivům, upevňovaných na tkaninách v Evropě ve středověku pomocí lněné fermeže. Mořidlová barviva a indigo bylo třeba opatřovat z Indie a proto charakterizují další vývoj tisku snahy odpoutat se od dovozu. To vedlo k podrobnějšímu zkoumání jednotlivých technologických operací. Výsledkem pak byl samostatný vývoj textilního tisku v Evropě i po stránce chemické. Pestíry lept na mořenové červení vypracoval vědeckými metodami roku 1811 Daniel Köchlin. Lepty nebyly až do té doby známy. Dalším důležitým přínosem pro technologii tisku byl způsob upevňování barviv peřením. Peření bylo použito již roku 1811 ve vlnařském průmyslu a roku 1834 i při tisku bavlněných tkanin. V Anglii pře-

pracovali původně přerušovaný způsob paření na způsob nepřetržitý. Mořidlová barviva se původně aplikovala dvoufázově. Již roku 1837 však zjistil Gastard, že lze tisknout barvivo i mořidlo současně v jedné tiskací barvě.

Důležitým mezníkem ve vývoji tiskářské techniky se stala syntetická barviva. Roku 1856 se k tisku použilo prvního zásaditého barviva, Perkinova mauveinu, a roku 1858 fuchsingu. Těchto barviv se ovšem používalo nejprve při tisku vlány. Bevlnu jimi potiskovali teprve 1861 Gratrix v Anglii a Javal v Alsasku. O rok později vypracoval Prud'homme způsob barvení a tisku emilínovou černí.

Roku 1868 byl synteticky vyroben alizarin, roku 1880 indigo a roku 1901 indatrénová modř.

V druhé polovině 19. stol. byla vypracována nová technika, která dnes neztratila na významu, tetíž tvorba nerozpustných azových barviv na vlákně. První patent v tomto oboru byl udělen Grässlerovi roku 1880.

Jedním z nejdůležitějších vynálezů, který lze za do významu řadit k vynálezu barviv, bylo použití dithioničitanu a později formaldehydsulfoxylátu sodného při barvení a tisku. Dithioničitan připravil roku 1869 Schützenbetger, ale teprve po roce 1900 jej začala průmyslově vyrábět firma BASF v Ludwigshafenu. Brzy se zjistilo, že přísadou aldehydů nebo ketonů lze dithioničitan stabilizovat na formu, která redukuje teprve za podmínek paření. Tento poznatek učinil chemik firmy Manufaktur E. Zündel v Moskvě George Theesmar. Výroba formaldehydsulfoxylátu sodného byla pak zahájena u firmy Farbwerke Höchst. Tato lát-

ka zasáhla přímo revolučně do technologie tisku.

Začátky textilního tisku jsou spojeny s obecnou průmyslovou revolucí, která vedla k velkému hospodářskému rozvoji, k rozkvětu kapitalismu, ke vzniku proletariátu i revolučního dělnického hnutí.

První českou tiskárnu založil roku 1763 hrabě Minský ve Sloupu u České Lípy, druhou téměř současně hrabě Bolza v Josefově Dole, tu převzal později Leitenberger. V Praze vznikla roku 1766 na Barvířském ostrově první pražská kartounka. Sociální napětí začalo vznikat při zavádění strojů, které umožňovaly podnikatelům propustit z práce stovky dělníků, snížit mzdy až o 75% a najímat k obsluze ženy a děti.

První tiskací válcový stroj postavil Josef Leitenberger v Zákupech. Tehdejší neuvědomělé dělnictvo hledalo mylně viníky svého utrpení ve strojích a pokoušelo se je zničit. Tak došlo v Čechách k prvním massovým vystoupením dělnictva v Praze, Liberci, České Lípě a v Zákupech. Počala se provozovat dělnická solidarita a snahy organizovat podpůrné spolky.

Textilní tisk, jehož výrobky se staly denní potřebou, prošel velkým technickým rozvojem a stal se silným průmyslovým odvětvím. Indické zboží bylo z evropského trhu zcela vytlačeno a později začaly dokonce evropské tiskárny zásobovat bavlněnými šatovkami celý svět.

1.2 Zpracování textilií

Pracovní cyklus výroby textilií se skládá stejně jako cyk-

lum ostatních způsobů zušlechťování textilií s předúpravy textilií, z vlastního potiskování a z úpravy potištěných textilií.

Účelem předúpravy je připravit textilií k potiskování, a to zejména tím, že se zvětší její bělost a savost a zlepší se charakter povrchu. První dva způsoby se v podstatě neliší od předúpravy ostatních textilií. Pro potiskování se však musí textilie zbavit i obvykle vystupujících vlákník a volných vláken, popř. je třeba napouštět textilie před tiskem i jinými roztoky /pro rezervoárování, k tisku disotovaných zásad a pod./.

Volné vlákník se z textilií odstraňují na postřívacích strojích. Během průchodu textilie tímto strojem se vše nejprve nadzvedne a pak postříhne několikrát postřívacím ústrojím. Toto ústrojí tvoří rovný pevný náž a nad ním rotační spirálový náž, který se otáčí značnou rychlos-

tí.

Postříhané textilie se zbavují prachu a volných vlákník na kartáčovacích nebo vyklesávacích strojích. Tyto stroje bývají obvykle spojeny s navíjecími stoliciemi, na nichž se textilie navíjejí na vály, které přicházejí pak k potiskovacím strojům.

Na těchto válech je obvykle navinuto 3 000/m až 8 000/m textilií podle toho, kolik je třeba daným vzorem nebo jeho barevnou variantou potisknout a podle toho, jaká je tloušťka textilie. Válečec jsou umístovány do osazové vozíkové konstrukce, tak že je lze snadno přemisťovat. Všechny konce jednotlivých dílců se před navinutím sešíjí jeden za dru-

hým. Sešívá se obvykle před postřihováním nebo kartáčováním podle toho, jak se bude dále textilie zpracovávat. Některé druhy textilií je třeba před tiskem rámovat a rovněž se musí vyrovnávat jejich útek. To se dělá na tzv. napínacích rámech, aby byla zaručena stále stejná šíře zboží.

Textilie je třeba někdy před tiskem napouštět určitými rozteky, např. preparaci emilinové černě, rozteky naftolátů nebo reaktivních a přímých barviv. To se dělá na fuláru spojeném s horkovzdušným sušicím strojem.

Tiskací barvy se na textilní materiál nanásejí pomocí tzv. potiskovacích útvarů /šablon, modelů, válců/. Potiskané zboží se pak suší, popř. pečí, aby se barvivo upavnilo ve vlákně, pak se pere nebo vyuvíjí a opět pere a konečně suší.

1.3 Způsoby tisku

Jedním z nejstarších způsobů tisku je tzv. ruční tisk. Tiskne se dřevěnou formou, která je skládána ze tří desek. Ve spodní desce, zhotovené z bukového nebo hruškového dřeva, vyřeže formář vzor vystupující z plochy čili vzor reliéfní. Tato tvrdá vzorová deska se přikládá na dvě měkké prkénka, kližená křížem, aby se forma vlnkem nezhortila. Na vrchní desce jsou držadla nebo vyhloubeniny, aby tiskací možl formu při tisku uchopit. V protilehlých rezích formy jsou vrnázeny tzv. strídové nebo li raportní hroty. Podle se tiskací řídí, kam má formu položit. Textilie nelze totiž potiskovat potiskovací formou na jednou, nýbrž postupně. Celý vzor na textili uznává opakováním pokládání formy,

tj. základního obrázku, který tvoří střídu nebo report. Jemnější a složitější vzory nelze vyhotovit v dřevě, poněvadž dřevo by se brzy opotřebovalo. Proto se připravují formy páskové a količkové, na nichž je vzor složen z mozaických plíšků nebo količků vbitých do dřevěné desky. Vyskytuje se také formy odlevané. Jsou to odlitky vzorku připevněné na dřevěnou desku.

Textilie se potiskují na potiskovacím stole. Pruh textilie je navinut na válečku, z něhož se odvíjí na potiskovací desku, která má měkkou podložku, aby tisk byl ostrý a čistý. Vedle potiskovacího stolu je příruční stolek s poduškou, složenou z prýžových desek pokrytých voskovaným plátnem, na němž spočívá soukený nebo plstěný nanášecí potah napnutý v rámu. Na vrchní potah se natírá potiskovací barva buď štětcem nebo kartáčem.

Ruční tisk je málo výkony, a proto se vyvinul tisk strojní, nejprve perotinový a pak válcový. Přesto se však ruční reliéfní tisk zachoval, protože jeho výrobky nesou zvláštní ráz ruční práce /mají charakter ruční výtvarné práce/ a také proto, že strojní tisk malých množství módních výrobků by byl příliš drahý. Barvy tištěné ručně jsou syté a během tisku se nešpiní, jako je tomu u tisku válcového. Dnes se potiskají ručními formami zejména vlněné tkaniny. Během posledních 40 let se značně rozšířil tisk síťový čili filmový, při němž se barva nanáší na tkaninu pre-tlačováním šablonou z jemné síťky, kde jsou místa mezi vzorem zaplněna laken. Tiskne se nejčastěji na podobných stolech jako při ručním tisku.

Tiskací stoly jsou dlouhé 30 až 60 [m], mají masivní dřevěnou desku, na kterou se pokládá plstěná podložka. Plst se potahuje pevným, hladkým a omyvatelným potahem, odolným proti mechanickým a chemickým vlivům. Dosud obecně používané voskové plátno se nyní nahrazuje pryžovým nebo nejlépe polyvinylechloridovým potahem. Po obou stranách desky tiskacího stolu jsou kolejnice, po nichž jezdí vozíky se šablony a na nichž lze upevnit tzv. střídové běžce. Tyto běžci tvoří zárážky pro vozík šablony, aby byl zajištěn tisk ve správné střídě. Rozměry šablon se normalisují a všude, kde je to možné se přizpůsobuje výkres vzoru rozměrům normalisované šablony.

Tiskací šablony na síťový tisk se skládají z dřevěného nebo kovového rámu, z dřevěné výplně rámu a z fosforobronzového sítia nebo se používá sítia z přírodního, polyamidového nebo polyesterového hedvábí. Používá se sít různé hustoty, podle jemnosti vzoru.

Vzor se přenáší na sítu různými způsoby. Primitivní způsob záleží v ručním malování. Průmyslově se používá fotochemického procesu.

Síťový tisk je technika, která podstatně přispěla k dnešní velké pružnosti a přizpůsobivosti textilního tisku požadavkům módy, neboť zvláštností své techniky umožňuje rychle zásobovat trh novými vzory.

Síťový tisk, který měl před 20 lety proti strojnímu tisku význam doplňující a zkušební, se později značně rozšířil, tak že se stal schopným udávat tón. Tento z počátku primitivní způsob tisku byl v posledních letech podstatně

zdokonalen. Jeho nová technika nemá již s ručním tiskem mnoho společného a je skutečně strojovým sítovým tiskem. Mechanizaci běžného sítového tisku vznikl automatický vozík pojízdějící postupně po tiskacím stole a komající příslušné tahy stěrkou.

Francouzský automatický vozík koná 8 tisků za minutu, vrací se rychlostí 70[m/min] a lze ho použít na maximální středu 1100[mm]. Přesnost dodržování středy je velmi dobrá a k obsluze dvou, tří nebo čtyř stolů stačí dva pracovníci. Stěrka se pohybuje podél osnovy nebo napříč k osnově. Zcela automatizován byl sítový tisk na zařízení systémů Kessel, Comerio, Regiani, Teximpex, Buser, Stork a Zimmer. Při mechanizaci sítového tisku se vychází z různých hledisek. Vyskytuje se konstrukce, u nichž se používá dlouhého stolu, po kterém se pohybuje potiskovaná textilie. Rámy se šablonami jsou lokálně uloženy a během tisku se zvedají a spouštějí. Pohyb stěrky je obvykle mechanisován. U jiného typu sítových tiskacích strojů se projevila snaha zkrátit tiskací stůl a stroj je konstruován tak, aby zaujal co nejméně místa a spotřeboval co nejméně páry, neboť se využívá vlastní malá mansarda.

Aby se zvětšil výkon sítových tiskacích strojů, omezuje se počet tahů stěrkami, což vyžaduje jejich značný přitlak.

Trvanlivost šablon se tím ovšem značně zkracuje. Tento problém řeší u stroje firmy Zimmer. Jako stěrky se používají v tomto stroji železné tyčinky kruhovitého průřezu o průměru 3 až 20 mm, které jsou volně vloženy do šablony. Pohyb této stěrky je ovládán pohybem magnetu umístěného pod

podložkou a tyčinka se odvaluje během stírání po šabloně.

Intenzita potisku se řídí průměrem stérky.

Volba záhustky do tiskacích barev pro sítové tiskáky je velmi důležitá, protože se tiskne mokré do mokrého. Tiskací barvy musí proto rychle pronikat do textilií, takže je třeba dávat přednost záhustkám normálním nebo zcela mírně anomální viskozity.

Podstatné množství potiskovaných tkanin se tiskne na válcových tiskacích strojích. Tisku pomocí perotiny se dnes již vůbec nepoužívá.

Při válcovém strojním tisku se rýjí vzory do měděných válců tak, že šířka rytiny je o něco větší než šířka potiskované tkaniny. Každá barva se rýje do zvláštního válce, a proto je třeba k potiskování nejméně tolik válců, kolik barev chceme tisknout. Válce se však mohou rýt i tak, že překryváním barev vzniknou směsové tóny, takže pak může být tiskacích válců méně.

Nevýhoda strojního válcového tisku je v tom, že odvalováním válců po tištěné tkanině se barvy příliš zatlačují do tkaniny a že se navzájem přenášejí z koryta do koryta, čímž se "špiní". Aby se zabránilo přenosu barev a jejich "špinění", používá se tzv. vodových válců, tj. válců bez rytin, kterými se oduby rá přebytek barev z tkaniny a také se jimi zatlačuje poslední barva, která by jinak netyla znamčkována.

Potiskovací válce se vyrábějí v podstatě třemi způsoby:

1/ pomocí molety

2/ pantografováním

3/ fotogravure

Při prvním způsobu se vzorek vyrývá do malého železného válečku zvaného moleta, po jejím zakalení se tlakem přenáší na druhou moletu zvanou reliéfní a z ní na potiskovací válec.

U druhého způsobu vyryje rytce vzorek v pětinásobné velikosti na zinkovou desku a z té se přenáší na potiskovací válec pomocí pákového systému. Válec je opatřen kyselinovo-vzdorným lekem. Válec obnažený na místech vzoru se pak leptá a ručně upravuje.

Třetím způsobem je zhodování tiskacích válců pomocí fotografické techniky tak, že se vzorek s příslušným rastrem přenesce nejprve na film a z toho se kopíruje na válec opatřený citlivou vrstvou. Pak se vymýje, zapráší asfalem a vypálí. Tako připravený válec se pak leptá.

Nejproduktivnějším strojem na rytí válců je stroj firmy Oliveti, který pracuje zcela automaticky.

Princip válcového tiskacího stroje se během posledních 150 let v podstatě nezměnil. Dnes se používá stroje jednobarevného až šestnáctibarevného. Stroje na tisk ještě větším počtem barev se již nestavějí, neboť s rostoucím počtem válců klesá hospodárnost stroje.

Podstatnou částí všech válcových tiskacích strojů je taky centrální válec, kolem něž jsou uloženy tiskací válců. Soustava pák přitlačuje k přitlačnému válci pružně tiskací válce pod značným tlakem.

Tiskací barvy se namášejí na tiskací válce namášecími válečky, které jsou uloženy v měděných korytech. Namášecí vá-

lečky jsou buď dřevěného z lehkého kovu a jsou opatřeny pryžovým potahem. Přebytečná barva se stírá z váleček stěrkou.

Přitlačný válec se opatřuje pružným obalem tkaniny zvané lapink. Je to tkanina s různou osnovou a vlněným útkem. Jako tiskací podložka slouží podložka probíhající strojem současně se zbožím. Podložka je dlouhá 30 až 50/m a tvoří ji několik vrstev pryžovanej tkaniny. Její konce jsou buď slepeny nebo se sešívají a to tak, aby šev nebyl na tisku patrný. Proti přímému účinku barev je podložka chráněna běhouncem, na kterém teprve leží potiskované zboží. Potištěná tkanina i běhoun a tiskací podložka se po opuštění stroje suší v sušící komoře.

Až před 30 lety byl konvenční tiskací stroj značně zmodernisován a současně vzniklo několik typů vysokorychlostních strojů, např. Printmaster, Norton, Kleine wefers.

U dnešních výkonných válcových tiskacích strojů se vše měs používá pohonu typu Leonard. Tento způsob pohonu umožňuje pohánět jednotlivé části agregátu zvlášť a tím vyrovnávat automaticky napětí tkaniny pomocí kompenzátorů. V budoucnu budou patrně textilní tiskárny vybaveny poněkud jinak než dnešní. Nelze sice předpokládat, že síťové tiskací stroje nahradí zcela dosavadní ruční síťový tisk. Spíše vrátí ruční tisk jeho původnímu poslání: být průkopníkem nových vzorů a sloužit jejich ověřování. Strojní síťový tisk převeze z ručního tisku spíše dnes často tištěné velké metráže a ze strojního tisku všechny malé metráže až do 3000/m na barevnou variaci vzoru. Strojnímu

válcovému tisku pak zůstanou vyhřezeny větší položky.

1.4 Historie rotačního šablonového tisku

Již ve dvacátých letech tohoto století se objevily pokusy o realisaci šablonového tisku rotačními šablony, až již ve formě pásů nebo válců.

První provozu schopný stroj tohoto druhu však vyvinul teprve v pedesátých letech Portugalec Almeiro Jaime Barros. Tento stroj je označován podle vynálezce "ALJABA". Tento tiskací stroj má válcové šablony namontované kolem centrálního pogumovaného preseru. Válcové šablony jsou vybaveny dutou pevnou hřídelí, kolem níž rotují a která zde slouží jako prostředek přivádění barvy do šablony i jako nosič válečkové rukle. Přitlak šablony i rukle je proveden přitlakem na hřídel. Stroj "ALJABA" pracuje v regulovatelném rozsahu rychlostí 0 - 80 m/min.

Kontinuální provoz šablonového tisku vyvíjí také výrobci roviných šablonových automatů fa. Stork /Holandsko/ a fa. Zimmer /Rakousko/. V roce 1963 předváděly prototypy rotačních šablonových tiskacích strojů v roviném provedení.

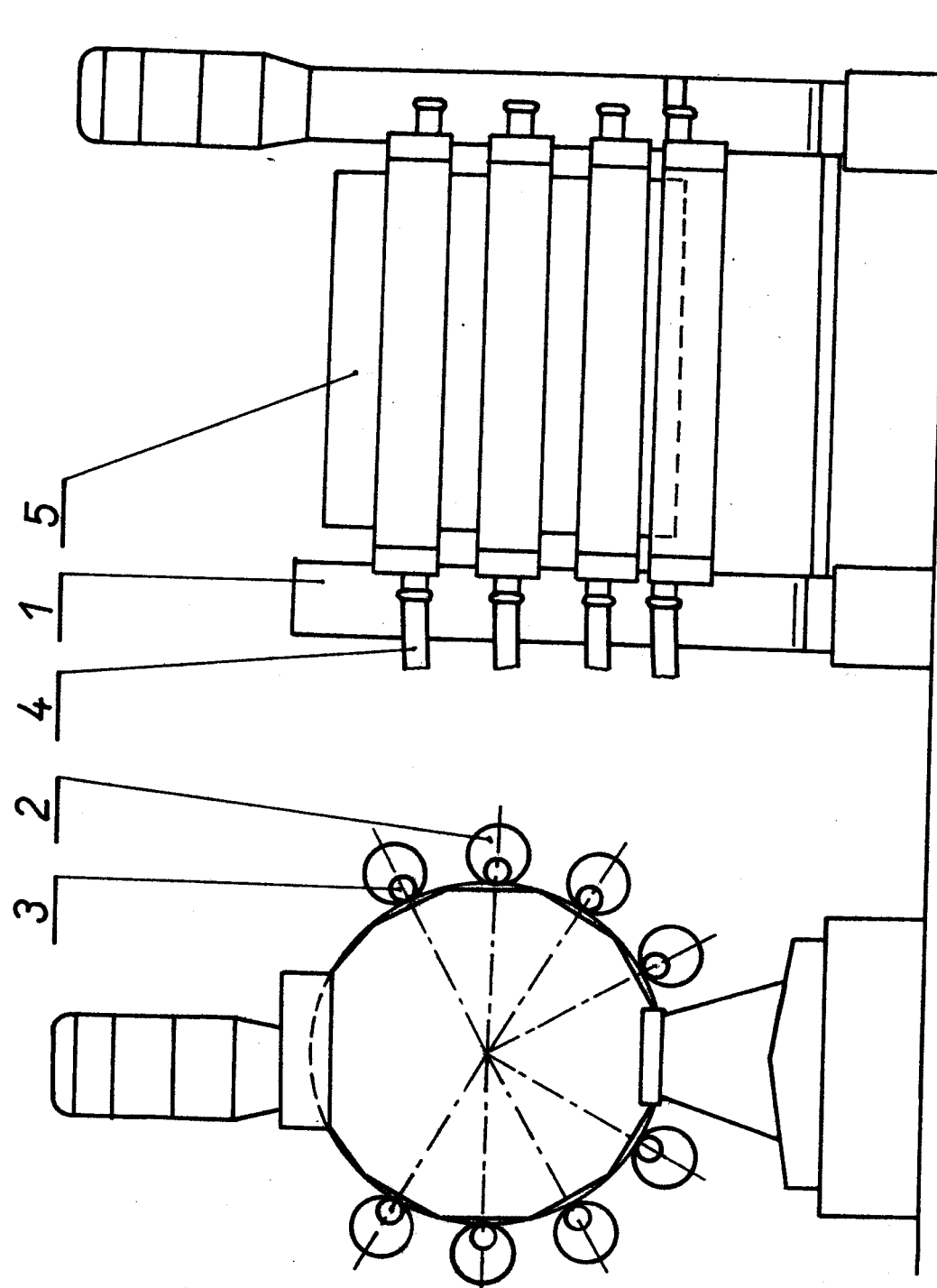
Stroje obou výrobců mají přibližně stejná základní konstrukční provedení. Ve vertikálních postranicích jsou uloženy dva velkopružové válce - vodiče nekonečného běžáku. Po obou stranách jsou namontovány otáčivé stojany, do nichž se vkládají rotační šablony, které jsou nazářeny od hlavního náhonu stroje.

U nás od roku 1964 probíhá vývoj tiskacího stroje s rotač-

ními šablonami centrálně uspořádenými kolem preseru. Toto uspořádání šablon má za důsledek zcela jiné řešení nanášení barvy. Barva je nanášena speciální tryskou opatřenou gumovými stěracími břity, které jsou upevněny prostě. Do barvící trysky je barva dodávána pod tlakem hubovým čerpadlem poháněným variátorem s možností regulace dodávky. Pohon stroje je proveden stejnosměrným derivačním motorem s možností regulace otáček.

U strojů větší šíře jsou kladený větší požadavky na konstrukci trysky a to hlavně z hlediska jejího průběhu, aby nedošlo k oddálení gumových břitů od šablony a tím k úniku barvy.

Schema tiskacího stroje s rotačními šablonami fy. TOTEX je zobrazeno na obr.1.



1 - stojan

4 - přívod barvy

2 - rotační šablona

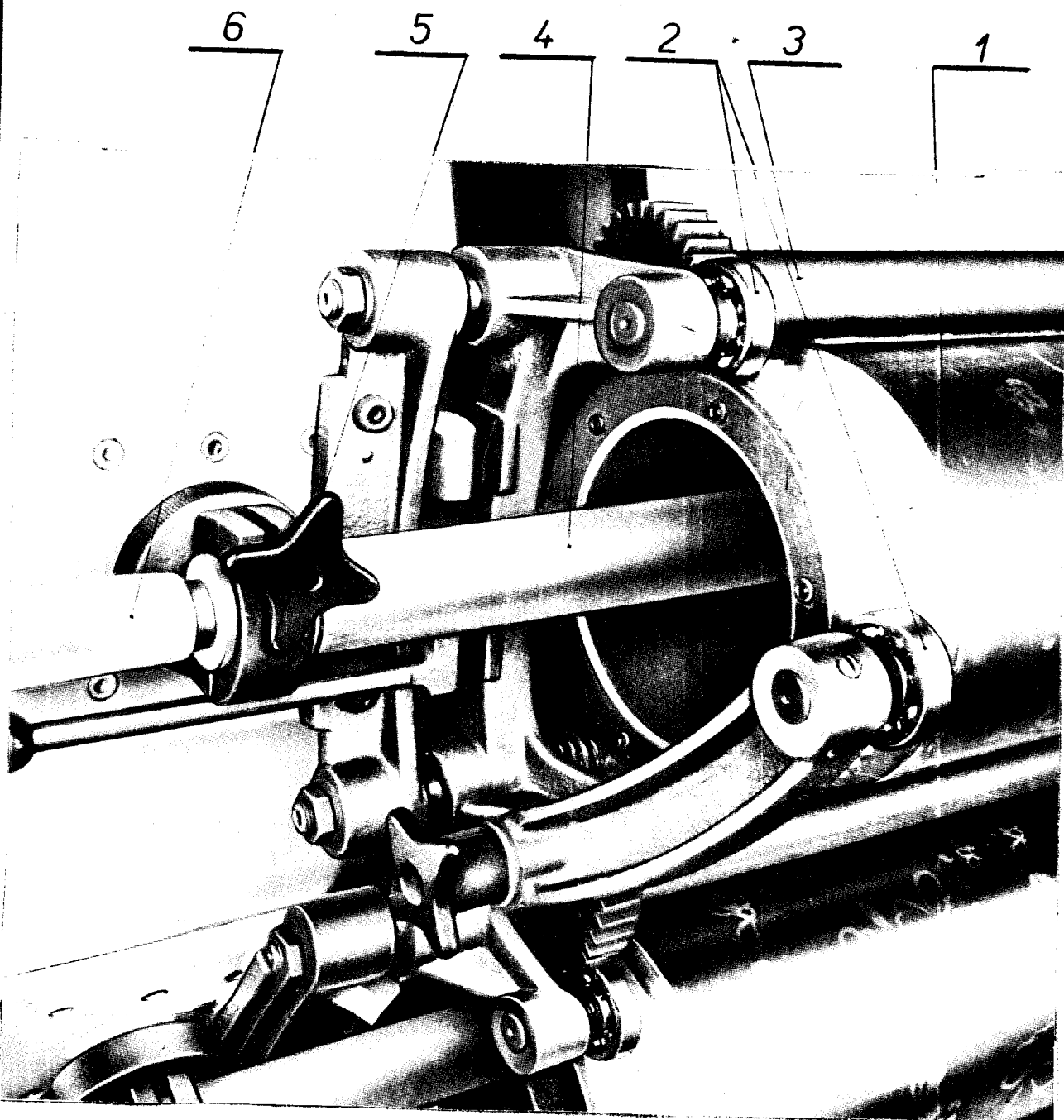
5 - preser

3 - barvící tryska

obr.1 - Schéma potiskovacího stroje s rotační šablonou

Na obr.1a je uspořádání šablony a trysky u rotačního šablonového tiskacího stroje.

1 - rotační šablona; 2 - vodící kladky; 3 - náhon šablony;
4 - barvící tryska; 5 - upevnění trysky; 6 - přived barvy.



obr.1a - Uspořádání šablony a trysky

2. Řešení průhybu trysky

Tryska je v podstatě neprismatický nosník prostě podepřený na obou kencích. Je obtížena zatížením od:

a/ přitisku / $q = 0,026 \text{ [kp/mm]}$ /

b/ vlastní vahou

c/ ohybovým momentem, který vyvozuje napínací šroub. Předpětí, kterým musíme šroub předepnout určíme výpočtem na základě maximálního dovoleného průhybu.

2.1 Průhyb trysky od přitisku

Řešení průhybu provádíme pomocí diferenciální rovnice ohybové čáry:

$$w'' = \frac{-M/x}{EJ_y/x} \quad (1)$$

w'' = druhá derivace průhybu

M/x = ohybový moment

E = modul pružnosti

J_y = průřezový moment setrvačnosti

Pro řešení si můžeme trysku rozdělit do tří úseků, kde určujeme ohybové momenty v závislosti na souřadnici x. Průběh posouvací síly a ohybového momentu je na obr. 2. Nejprve musíme určit reakce v místech podepření. Ze symetrie trysky plyne, že reakce R_1 v místě 1 je rovna reakci R_2 v místě 2.

$$R_1 = R_2 = \frac{q_1 b}{2} \quad [\text{kp}] \quad (2)$$

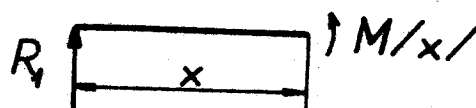
q = obtížení jednotkové délky trysky $[\text{kp/mm}]$

b = délka obtížení $[\text{mm}]$

2.1.1 Určení ohybových momentů

Ohybové momenty jsou funkcií souřadnice x , kterou měříme od levé podpory / viz. obr. 2 /.

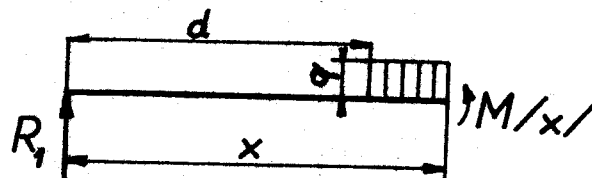
a/ $x \in [0, d]$



obr.3 - Vnitřní statické účinky

$$M/x = R_1 \cdot x = \frac{q_1 b}{2} \cdot x = 40 \cdot x \quad (3)$$

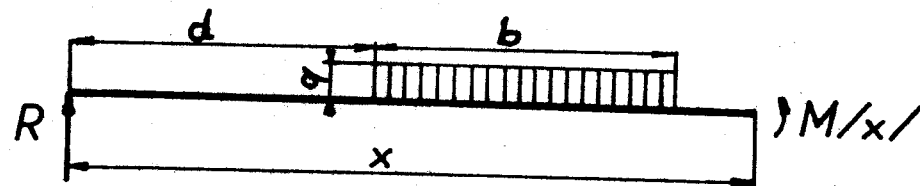
b/ $x \in [d, d+b]$



obr.4 - Vnitřní statické účinky

$$\begin{aligned} M/x &= R_1 \cdot x - \frac{q_1 b}{2} / x-d/^2 = -\frac{q_1 b}{2} / [b \cdot x - (x-d)^2] = \\ &= 41,64 \cdot x - 0,13 \cdot x^2 - 5,15 \end{aligned} \quad (4)$$

c/ $x \in [d+b, a]$

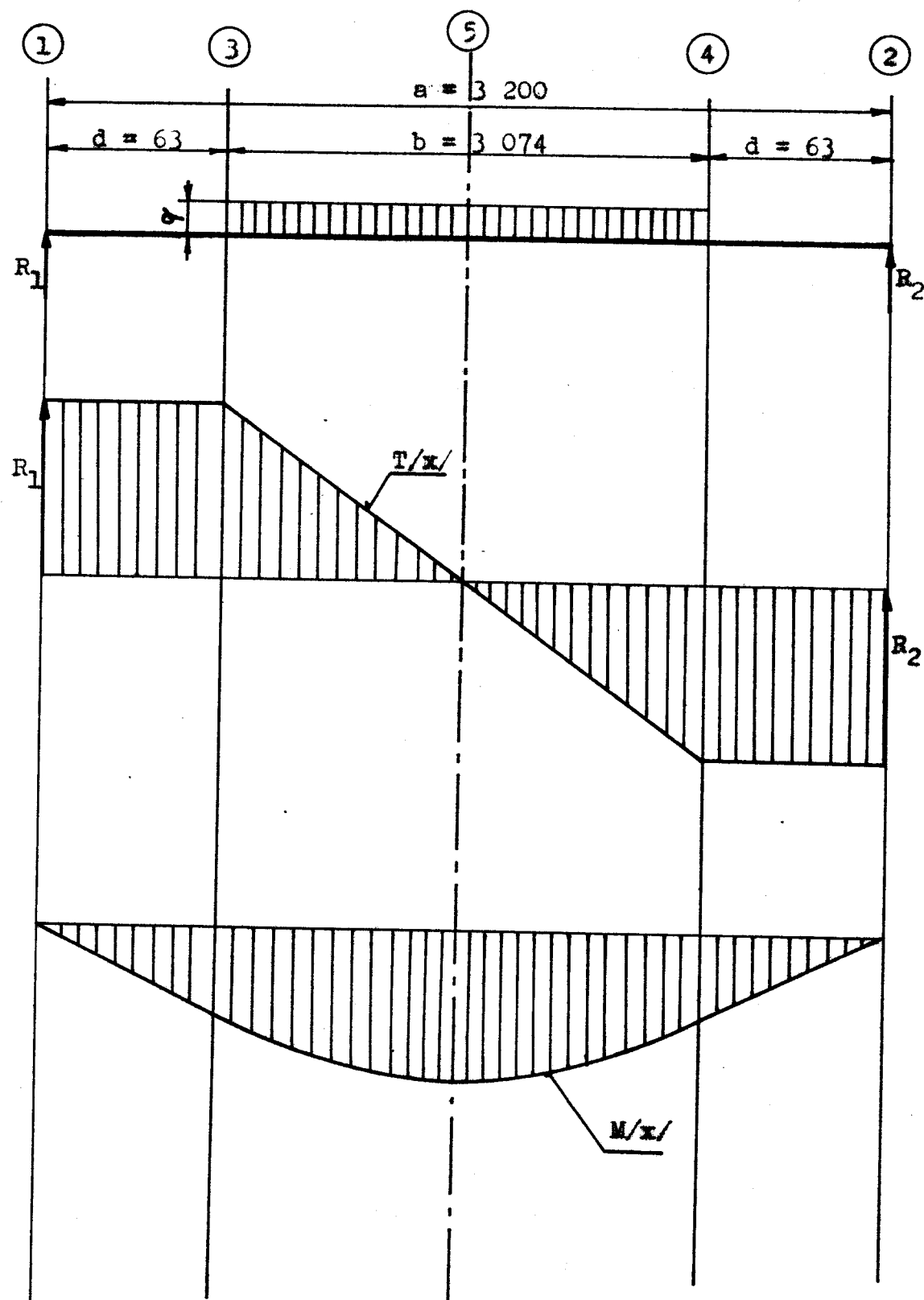


obr.5 - Vnitřní statické účinky

$$\begin{aligned} M/x &= R_1 \cdot x - \frac{q_1 b}{2} / 2x-2d - 2-\frac{b}{2} / = \frac{q_1 b}{2} / b + 2d - x / = \\ &= 12,8 \cdot 10^3 - 40 \cdot x \end{aligned} \quad (5)$$

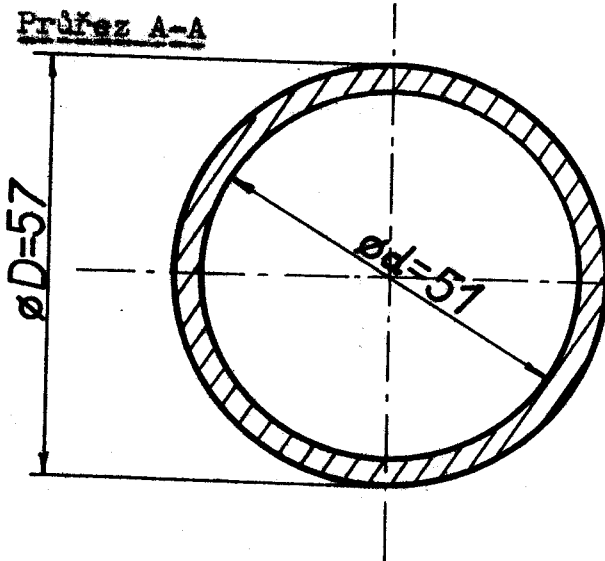
2.1.2 Výpočet momentů sestravněnosti

Tryska se skládá ze dvou částí a rozdílným průřezovým momentem sestravněnosti. Průřez A-A /obr.6/ je pro sou-



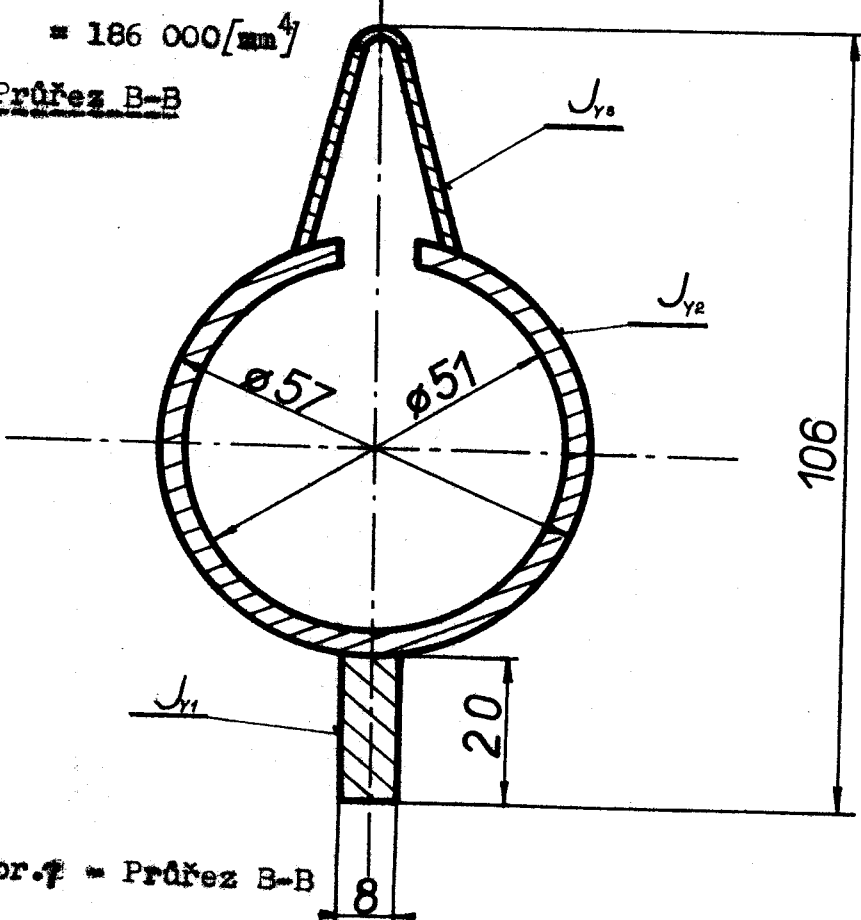
obr.2 - Průběh posuvací síly a ohybového momentu

Fačnici $x \in \langle 0, d \rangle$ a pro souřadnici $x \in \langle d+b, a \rangle$. Průřez B-B je pro souřadnici $x \in \langle d, d+b \rangle$ /obr.7/.

Průřez A-A

obr.6 - Průřez A-A

$$J_y = \frac{J}{2} = \frac{\pi}{64} / D^4 - d^4 / = \frac{\pi}{64} / 57^4 - 51^4 / = \\ = 186\ 000 / \text{mm}^4$$

Průřez B-B

(6)

obr.7 - Průřez B-B

$$J_y = J_{y1} + J_{y2} + J_{y3} \quad (7)$$

$$J_{y1} = \frac{1}{12} b \cdot h^3 + b \cdot h \cdot x^2 = \frac{1}{12} 8 \cdot 20^3 + 8 \cdot 20 \cdot 38,5^2 = \\ = 243\ 330 \text{ [mm}^4\text{]} \quad (8)$$

$$J_{y2} = -\frac{1}{64} D^4 - d^4 / -\frac{1}{12} b \cdot h^3 - b \cdot h \cdot y^2 = \\ = -\frac{1}{64} 57^4 - 51^4 / -\frac{1}{12} 10 \cdot 3^3 - 10 \cdot 3 \cdot 27^2 = \\ = 164\ 077,5 \text{ [mm}^4\text{]} \quad (9)$$

$$J_{y3} = 181\ 320 \text{ [mm}^4\text{]}$$

$$J_y = 243\ 320 + 164\ 077,5 + 181\ 320 = 599\ 727,5 \text{ [mm}^4\text{]} \quad (10)$$

2.1.3 Výpočet průhybu

Integrací druhé derivace diferenciální rovnice ohybové čáry (1) získáme rovnici ohybové čáry. Při integraci dostaneme v rovnicích integrační konstanty, které určíme pomocí okrajových podmínek.

Okrajové podmínky:

- a/ $w_1 = 0$ - průhyb v místě podpory 1 je nulový
- b/ $w_2 = 0$ - průhyb v místě podpory 2 je nulový
- c/ $w'_5 = 0$ - tečna k ohybové čáře v místě 5 má nulovou směrnici
- d/ $w'_{3+} = w'_{3-}$ - v místě 3 a 4 nemůže dojít ke zlomu v ohybové čáře, proto derivace z prava i zleva musí být stejné
- e/ $w'_{4+} = w'_{4-}$ - levá musí být stejná
- f/ $w/d/ = w/d/$ - v místě 3 musí být průhyb z prava i zleva shodný

Dosazením do druhé derivace diferenciální rovnice ohýbové čáry a její dvojnásobné integraci dostaneme výslednou rovnici ohýbové čáry pro souřadnici x v jednotlivých intervalech.

I/ $x \in [0, d]$

$$M/x/ = \frac{q \cdot b}{2} x$$

$$J_y = 186\ 000 \text{ [mm}^4] = 18,6 \text{ [cm}^4]$$

$$w'' = - \frac{q \cdot b}{2 \cdot E \cdot J_y} x \quad (11)$$

$$w' = - \frac{q \cdot b}{4 \cdot E \cdot J_y} x^2 + K_1 \quad (12)$$

$$w = - \frac{q \cdot b}{12 \cdot E \cdot J_y} x^3 + K_1 \cdot x + K_2 \quad (13)$$

II/ $x \in [d, d+b]$

$$M/x/ = \frac{q}{2} [x/b+2d/-x^2-d^2]$$

$$J_y = 599\ 727,5 \text{ [mm}^4] = 59,97 \text{ [cm}^4]$$

$$w'' = - \frac{q}{2 \cdot E \cdot J_y} [x/b+2d/-x^2-d^2] \quad (14)$$

$$w' = - \frac{q}{2 \cdot E \cdot J_y} [\frac{x^2}{2}/b+2d/-\frac{x^3}{3}-d^2 \cdot x] + K_3 \quad (15)$$

$$w = - \frac{q}{2 \cdot E \cdot J_y} [\frac{x^3}{6}/b+2d/-\frac{x^4}{12}-d^2 \cdot \frac{x^2}{2}] + K_3 \cdot x + K_4 \quad (16)$$

III/ $x \in [d+b, a]$

$$M/x/ = \frac{q \cdot b}{2} /b+2d-x/$$

$$J_y = 186\ 000 \text{ [mm}^4] = 18,6 \text{ [cm}^4]$$

$$w'' = - \frac{q \cdot b}{2 \cdot E \cdot J_y} /b+2d-x/ \quad (17)$$

$$w' = - \frac{q \cdot b}{2 \cdot E \cdot J_y} [/b+2d/x-\frac{x^2}{2}] + K_5 \quad (18)$$

$$w = - \frac{q \cdot b}{2 \cdot E \cdot J_y} [/b+2d/ \frac{x^2}{2} - \frac{x^3}{6}] + K_5 \cdot x + K_6 \quad (19)$$

Konstanty $K_1 \div K_6$ v rovnicích (12), (13), (15), (16), (18), (19) jsou integrační konstanty.

2.1.4 Výpočet integračních konstant

Integrační konstanty $K_1 \div K_6$ určíme pomocí okrajových podmínek a \div f.

a/ $w_1 = 0$ pro $x = 0$ [cm]

$$0 = - \frac{q \cdot b}{2 \cdot E \cdot J_y} \cdot 0 + K_1 \cdot 0 + K_2 = K_2 = 0$$

b/ $w_2 = 0$ pro $x = a$ [cm]

$$0 = - \frac{q \cdot b}{2 \cdot E \cdot J_y} [/b+2d/ \frac{a^2}{2} - \frac{a^3}{6}] + K_5 \cdot a + K_6$$

$$0 = - \frac{0,26 \cdot 307,4}{2 \cdot 2,1 \cdot 10^6 \cdot 18,6} \frac{2 \cdot 320^3}{6} + 320K_5 + K_6$$

$$320K_5 + K_6 - 11,1 = 0$$

(20)

c/ $w'_5 = 0$ pro $x = \frac{a}{2}$ [cm]

$$0 = - \frac{q}{2 \cdot E \cdot J_y} [\frac{a/2}{2} /b+2d/ - \frac{(a/2)^3}{3} - d^2 / \frac{a}{2} /2] + K_3$$

$$0 = - \frac{0,26}{2 \cdot 2,1 \cdot 10^6 \cdot 59,97} / \frac{160^2}{2} \cdot 320 - \frac{160^3}{3} - 6,3^2 \cdot 160^2 / + K_3$$

$$\underline{K_3 = 2,82 \cdot 10^3}$$

d/ $w'_{3+} = w'_{3-}$ pro $x = d$ [cm]

$$- \frac{q \cdot b}{4 \cdot E \cdot J_y} d^2 + K_1 = - \frac{q}{2 \cdot E \cdot J_y} [\frac{d^2}{2} /b+2d/ - \frac{d^3}{3} - d^3] + K_3$$

$$- \frac{0,26 \cdot 307,4}{2 \cdot 1 \cdot 4 \cdot 10^6 \cdot 18,6} 6,3^2 + K_1 =$$

$$= - \frac{0,26}{2,2,1 \cdot 10^6 \cdot 59,97} / \frac{6,3^2}{2} \cdot 320 - \frac{6,3^3}{3} - 6,3^3 / + K_3$$

$$K_1 - K_3 = 14 \cdot 10^6 = 0$$

(21)

$$\text{e/ } w'_{4+} = w'_{4-} \text{ pro } x = b+d \text{ [cm]}$$

$$- \frac{q \cdot b}{2 \cdot E \cdot J_y} / b+2d / . / b+d / - \frac{(b+d)^2}{2} + K_5 =$$

$$= - \frac{q}{2 \cdot E \cdot J_y} \left[\frac{(b+d)^2}{2} / b+2d / - \frac{(b+d)^3}{3} - d^2 / b+d / \right] + K_3$$

$$= - \frac{0,26 \cdot 307,4}{2,2,1 \cdot 10^6 \cdot 18,6} / 320 \cdot 313,7 - \frac{313,7^2}{2} / + K_5 =$$

$$= - \frac{0,26}{2,2,1 \cdot 10^6 \cdot 59,97} / \frac{313,7^2}{2} \cdot 320 - 6,3^2 \cdot 313,7 - \frac{313,7^3}{3} / + K_3$$

$$K_5 - K_3 = 4,698 \cdot 10^2 = 0$$

(22)

$$\text{f/ } w_+/d/ = w_-/d/ \text{ pro } x = d \text{ [cm]}$$

$$- \frac{q}{2 \cdot E \cdot J_y} \frac{d^3}{6} / b+2d / - \frac{d^4}{12} - \frac{d^4}{2} + K_3 \cdot d + K_4 =$$

$$= - \frac{q \cdot b}{12 \cdot E \cdot J_y} d^3 + K_1 \cdot d$$

$$- \frac{0,26}{2,2,1 \cdot 10^6 \cdot 59,97} / \frac{6,3^3}{6} \cdot 320 - \frac{6,3^4}{12} - \frac{6,3^4}{2} / + 2,834 \cdot 6 \cdot 10^3 \cdot$$

$$+ K_4 = - \frac{0,26 \cdot 307,4}{12 \cdot 2,1 \cdot 10^6 \cdot 18,6} 6,3^3 + 2,834 \cdot 10^3 \cdot 6,3$$

$$\underline{\underline{K_4 = 0,07 \cdot 10^3}}$$

Rovnice (20), (21), (22) tvoří soustavu rovnic o třech neznámých, jejímž řešením dostaneme zbyvající neznámé integrační konstanty K_1, K_3, K_6 .

$$\underline{\underline{K_1 = 2,834 \cdot 10^3}}$$

$$\underline{K_5 = -44,16 \cdot 10^3}$$

$$\underline{K_6 = 25,25}$$

2.1.5 Určení maximálního průhybu trysky při zatížení přitlakem

Ze symetrie trysky vidíme, že největší průhyb trysky bude zřejmě v jejím středu /t.j. pro $x = 1600[\text{mm}]$ /.

$$\begin{aligned} w_{\max} &= -\frac{0,26}{2,2 \cdot 1,10^6 \cdot 59,97} / \frac{160^3}{6} - \frac{160^4}{12} - 6,3^2 \frac{160^2}{2} / + \\ &+ 160 \cdot 2,82 \cdot 10^3 + 0,07 \cdot 10^3 \end{aligned} \quad (23)$$

$$\underline{w_{\max} = 2,7407 [\text{mm}]}$$

2.2 Průhyb trysky od vlastní váhy

Řešení průhybu provádíme diferenciální rovnicí ohýbové čáry (1). Pro řešení můžeme trysku rozdělit do tří úseků ve kterých určujeme ohýbové momenty v závislosti na souřadnici x. Průběh posouvací síly a ohýbového momentu je na obr. 8.

2.2.1 Určení váhy trysky

délka trubky: $a = 3200 [\text{mm}]$

váha 1 /m/ trubky: $q_1 = 3,995 [\text{kp/m}]$

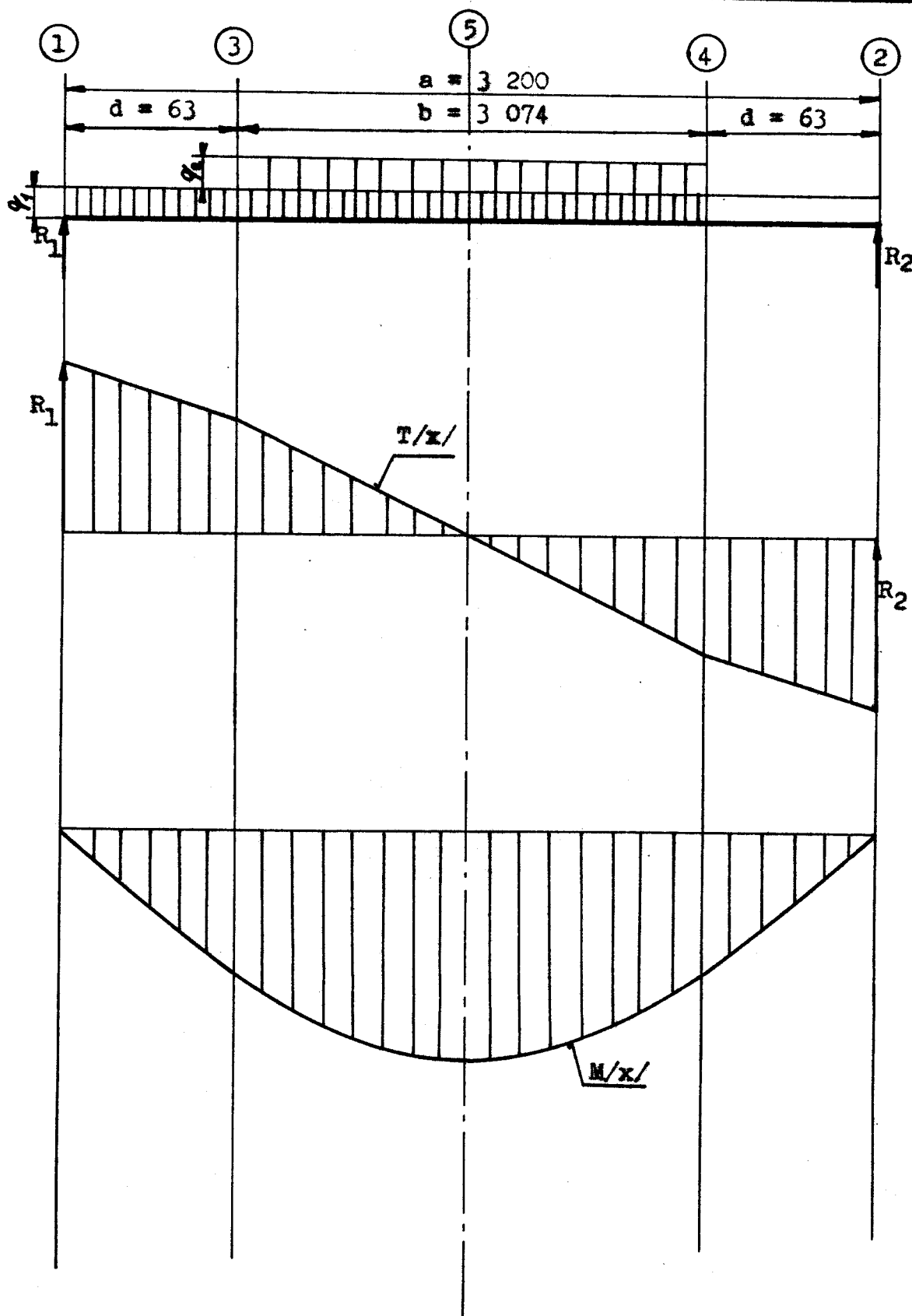
celková váha trubky: $Q = 12,8 [\text{kp}]$

délka vyztužení: $b = 3074 [\text{mm}]$

váha 1 /m/ vyztužení: $q_2 = 1,256 [\text{kp/m}]$

celková váha vyztužení: $Q = 3,86 [\text{kp}]$

Ostatní hmoty mají proti trubce zanedbatelnou váhu, a



obr.8 - Průběh posouvací síly a ohybového momentu

proto je při výpočtu neuvažujeme.

Ze symetrie trysky plynu, že reakce v místě 1 je rovna reakci v místě 2.

$$R_1 = R_2 = \frac{q_1 \cdot a + q_2 \cdot b}{2} \quad [\text{kp}] \quad (24)$$

q_1 = váha l/m trubky [kp/m]

q_2 = váha l/m vystužení [kp/m]

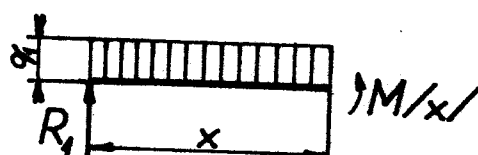
a = délka trubky [m]

b = délka vystužení [m]

2.2.2 Určení ohybových momentů

Ohybové momenty jsou funkce souběžného písmen x, když jsou na trubce
od horní podpory /vzhled/ obr.8/.

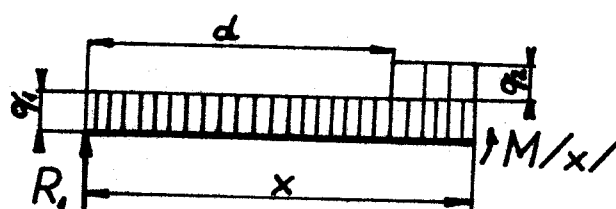
a/ $x \in \langle 0, d \rangle$



obr. 9 - Vnitřní statické dělinky

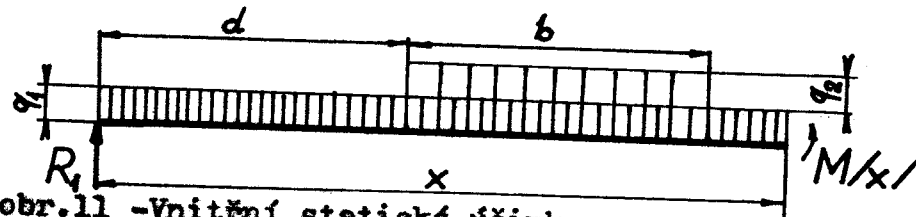
$$\begin{aligned} M/x &= R_1 \cdot x - \frac{q_1 \cdot x^2}{2} = \frac{q_1 \cdot a + q_2 \cdot b}{2} x - \frac{q_1 \cdot x^2}{2} = \\ &= 8,4 \cdot x - 0,02 \cdot x^2 \end{aligned}$$

b/ $x \in \langle d, d+b \rangle$



obr. 10 - Vnitřní statické dělinky

$$M/x = R_1 \cdot x - \frac{q_1 \cdot x^2}{2} - \frac{q_2/(x-d)^2}{2} = \frac{q_1 \cdot a + q_2 \cdot b}{2} \cdot x - \frac{q_1 \cdot x^2}{2} - \frac{q_2/(x-d)^2}{2} = 8,483 \cdot x - 0,0265 \cdot x^2 - 0,516 \quad (26)$$

c/ $x \in [d+b, a]$ 

$$M/x = R_1 \cdot x - \frac{q_1 \cdot x^2}{2} - q_2 \cdot b / x - d - \frac{b}{2} = \frac{q_1 \cdot a + q_2 \cdot b}{2} \cdot x - \frac{q_1 \cdot x^2}{2} - q_2 \cdot b / x - d - \frac{b}{2} = 4,4 \cdot x - 0,02 \cdot x^2 + 640,2 \quad (27)$$

2.2.3 Řešení průhybu

Řešení průhybu provádíme stejným způsobem a s použitím stejných podmínek jako v kapitole 2.1.3.

I/ $x \in [0, d]$

$$M/x = 8,4 \cdot x - 0,02 \cdot x^2$$

$$J_y = 186\ 000 \text{ [mm}^4] = 18,6 \text{ [cm}^4]$$

$$w'' = - \frac{1}{E \cdot J_y} / 8,4 \cdot x - 0,02 \cdot x^2 / \quad (28)$$

$$w' = - \frac{1}{2,1 \cdot 10^6 \cdot 18,6} / 4,2 \cdot x^2 - 0,0066 \cdot x^3 / + K_1 \quad (29)$$

$$w = -0,0358 \cdot 10^6 \cdot x^3 + 0,0422 \cdot 10^9 \cdot x^4 + K_1 \cdot x + K_2 \quad (30)$$

II/ $x \in [d, d+b]$

$$M/x = 8,483 \cdot x - 0,0265 \cdot x^2 - 0,516$$

$$J_y = 599\ 727,5 \text{ [mm}^4] = 59,97 \text{ [cm}^4]$$

$$w'' = - \frac{1}{E \cdot J_y} / 8,483 \cdot x - 0,0265 \cdot x^2 - 0,516 / \quad (31)$$

$$w' = - \frac{1}{2,1 \cdot 10^6 \cdot 59,97} / 4,2415 \cdot x^2 - 0,00883 \cdot x^3 - 0,516 \cdot x / +$$

$$+ K_3 \quad (32)$$

$$w = - 0,0113 \cdot 10^6 \cdot x^3 + 0,0175 \cdot 10^9 \cdot x^4 + 0,0205 \cdot 10^7 \cdot x^2 + \\ + K_3 \cdot x + K_4 \quad (33)$$

III/ $x \in [d+b, a]$

$$M/x = 4,4 \cdot x - 0,02 \cdot x^2 + 640,2$$

$$J_y = 186\ 000 \text{ [mm}^4\text{]} = 18,6 \text{ [cm}^4\text{]}$$

$$w'' = - \frac{1}{E \cdot J_y} / 4,4 \cdot x - 0,02 \cdot x^2 + 640,2 / \quad (34)$$

$$w' = - \frac{1}{2,1 \cdot 10^6 \cdot 18,6} / 2,2 \cdot x^2 - 0,0066 \cdot x^3 + 640,2 \cdot x / + \\ + K_5 \quad (35)$$

$$w = - 0,188 \cdot 10^7 \cdot x^3 + 0,0422 \cdot 10^9 \cdot x^4 - 8,18 \cdot 10^6 \cdot x^2 + K_5 \cdot x + \\ + K_6 \quad (36)$$

2.2.4 Výpočet integračních konstant

Výpočet integračních konstant provedeme pomocí již dříve uvedených okrajových podmínek a rovnic (29), (30), (32), (33), (35), (36).

a/ $w_1 = 0$ pro $x = 0$ [cm]

$$0 = - 0,0358 \cdot 10^6 \cdot 0 + 0,0422 \cdot 10^9 \cdot 0 + K_1 \cdot 0 + K_2 \quad \underline{\underline{K_2 = 0}}$$

b/ $w_2 = 0$ pro $x = a$ [cm]

$$0 = - 0,188 \cdot 10^7 \cdot 320^3 + 0,0422 \cdot 10^9 \cdot 320^4 - 8,18 \cdot 10^6 \cdot 320^2 +$$

$$+ K_5 \cdot 320 + K_6$$

$$320 \cdot K_5 + K_6 - 1,013 = 0 \quad (37)$$

$$c/ w'_5 = 0 \quad \text{pro } x = \frac{d}{2} [\text{cm}]$$

$$0 = - \frac{1}{2,1 \cdot 10^6 \cdot 59,97} / 4,24 \cdot 160^2 - 0,00883 \cdot 160^3 - 0,516 \cdot 160 / +$$

$$+ K_3$$

$$\underline{K_3 = 0,572 \cdot 10^3}$$

$$d/ w'_{3+} = w'_{3-} \quad \text{pro } x = d [\text{cm}]$$

$$- \frac{1}{2,1 \cdot 10^6 \cdot 18,6} / 4,2 \cdot 6,3^2 - 0,0066 \cdot 6,3^3 / + K_1 =$$

$$= - \frac{1}{2,1 \cdot 10^6 \cdot 59,97} / 4,242 \cdot 6,3^2 - 0,0883 \cdot 6,3^3 - 0,516 \cdot 6,3 / +$$

$$+ K_3$$

$$K_1 - K_3 - 2,93 \cdot 10^6 = 0$$

(38)

$$e/ w'_{4+} = w'_{4-} \quad \text{pro } x = d+b [\text{cm}]$$

$$- \frac{1}{2,1 \cdot 10^6 \cdot 59,97} / 4,242 \cdot 313,7^2 - 0,00883 \cdot 313,7^3 -$$

$$- 0,516 \cdot 313,7 / + K_3 =$$

$$= - \frac{1}{2,1 \cdot 10^6 \cdot 18,6} / 2,2 \cdot 313,7^2 - 0,0066 \cdot 313,7^3 + 640,2 \cdot$$

$$+ K_5$$

$$K_3 - K_5 + 4 \cdot 10^3 = 0$$

(39)

$$f/ w_+/d/ = w_-/d/ \quad \text{pro } x = d [\text{cm}]$$

$$- 0,0358 \cdot 10^6 \cdot 6,3^3 + 0,0422 \cdot 10^9 \cdot 6,3^4 + K_1 \cdot 6,3 =$$

$$= - 0,0113 \cdot 10^6 \cdot 6,3^3 + 0,0175 \cdot 10^9 \cdot 6,3^4 + 0,0205 \cdot 10^7 \cdot 6,3^3 +$$

$$+ K_3 \cdot 6,3 + K_4$$

$$6,3 / K_1 - K_3 / - K_4 = 6,154 \cdot 10^6 = 0$$

(40)

Rovnice (37), (38), (39), (40) tvoří soustavu rovnic o čtyřech neznámých, jejíž řešením dostaneme zbylé neznámé K_1, K_4, K_5, K_6 :

$$\underline{K_1 = 0,575 \cdot 10^3}$$

$$\underline{K_4 = 12,646 \cdot 10^6}$$

$$\underline{K_5 = 4,572 \cdot 10^3}$$

$$\underline{K_6 = -0,452}$$

2.2.5 Určení maximálního průhybu trysky způsobeného vlastní vahou

Největší průhyb trysky bude opět záviset v jejím středu /t.j. pro $x = 1600$ [mm] /.

$$w_{\max} = -0,0113 \cdot 10^6 \cdot 160^3 + 0,0175 \cdot 10^9 \cdot 160^4 + 0,0205 \cdot 10^7 \cdot$$

$$\cdot 160^2 + 0,572 \cdot 10^3 \cdot 160 + 12,646 \cdot 10^6 = 0,0566 [\text{mm}] \quad (41)$$

$$\underline{w_{\max} = 0,566 [\text{mm}]}$$

2.3 Výsledný průhyb trysky

Výsledný průhyb trysky je dán průhybem od přítlaču a průhybem od vlastní vahy.

$$\underline{w_y = 3,306 [\text{mm}]}$$

Výsledný maximální průhyb, který vychází, je proti maximálnímu dovolenému průhybu několikrát větší. Z tohoto důvodu

vneseme do trysky ohýbový moment, který působí proti průhybu. Tím se průhyb trysky zmenší a tryska také získá na příčné stabilitě. Ohýbový moment vypočítáme napínacím čloubenem, jehož předpříti určíme výpočtem na základě maximálního dovoleného průhybu.

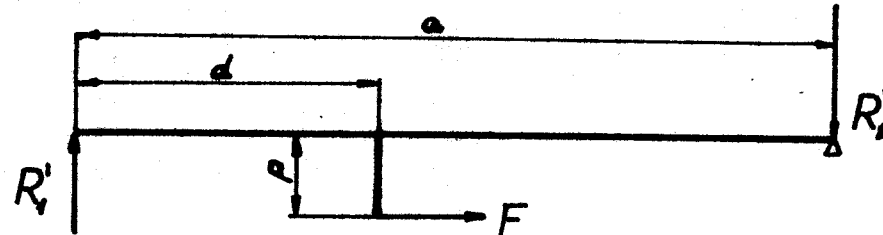
2.4 Vypočítat předníacej síly F v napínacím čloubenu

Budeme opět vycházet z diferenciální rovnice ohýbové čáry (1). Průhyb trysky i integrační konstanty si v tomto případě vyjádříme v závislosti na síle F. Na základě základního dovoleného průhybu potom sílu F vypočteme.

2.4.1 Určení ohýbových momentů

Řešení provedeme pomocí superpozice.

a/



obr.12 - Reakce v uložení

Momentová podmínka k bodu 1:

$$F \cdot p + R_2 \cdot a = 0 \quad (42)$$

R_2' = reakce v místě 2

$$R_2' = - \frac{F \cdot p}{a} \quad [kp] \quad (43)$$

Momentová podmínka k bodu 2:

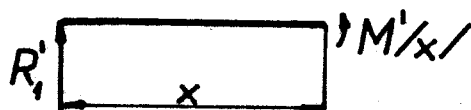
$$F \cdot p - R_1 \cdot a = 0 \quad (44)$$

R_1' = reakce v místě 1

$$R'_1 = \frac{F \cdot p}{a} [kp]$$

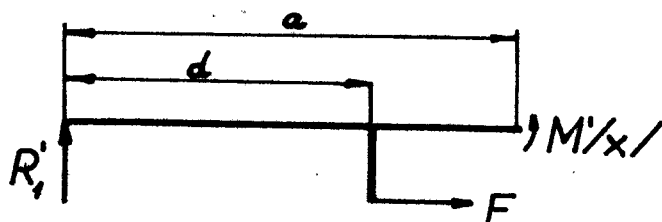
(45)

Ohybové momenty:

I/ $x \in \langle 0, d \rangle$ 

obr.13 - Vnitřní statické účinky

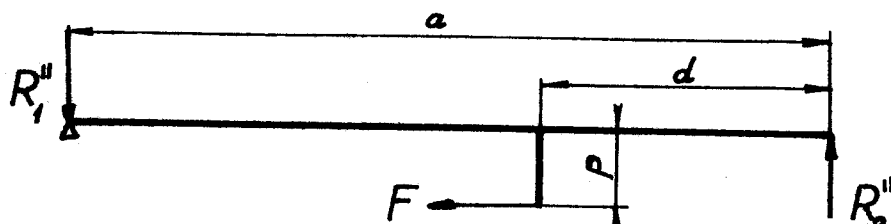
$$M'/x/ = R'_1 \cdot x = \frac{F \cdot p}{a} \cdot x$$

II/ $x \in \langle d, a \rangle$ 

obr.14 - Vnitřní statické účinky

$$M'/x/ = R'_1 \cdot x - F \cdot p = F \cdot p / \frac{x}{a} - 1 /$$

b/



obr.15 - Reakce v uložení

Momentová podmínka k bodu 1:

$$F \cdot p - R''_2 \cdot a = 0$$

(48)

 R''_2 = reakce v místě 2

$$R''_2 = \frac{F \cdot p}{a} [kp]$$

(49)

Momentová pozmínka k bodu 2:

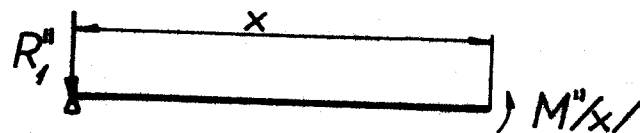
$$F \cdot p + R_1'' \cdot a = 0 \quad (50)$$

R_1'' = reakce v místě 1

$$R_1'' = -\frac{F \cdot p}{a} \text{ [kp]} \quad (51)$$

Ohybové momenty:

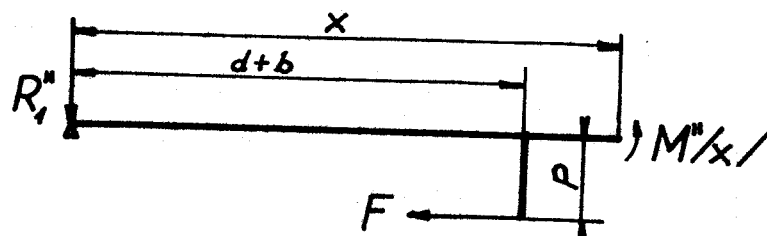
I/ $x \in \langle 0, d+b \rangle$



obr. 16 - Vnitřní statické účinky

$$M''/x/ = -\frac{F \cdot p}{a} x \quad (52)$$

II/ $x \in \langle d+b, a \rangle$



obr. 17 - Vnitřní statické účinky

$$M''/x/ = F \cdot p / a - \frac{F \cdot p}{a} x \quad (53)$$

Výsledný ohybový moment je roven součtu částečných ohybových momentů.

$$M/x/ = M''/x/ + M''/x/ \quad (54)$$

I/ $x \in \langle 0, d \rangle$

$$M/x/ = \frac{F \cdot p}{a} x - \frac{F \cdot p}{a} x = 0 \quad (55)$$

II/ $x \in \langle d, d+b \rangle$

$$M/x/ = F \cdot p / a - 1/ - \frac{F \cdot p}{a} x = -F \cdot p \quad (56)$$

III/ $x \in [d+b, e]$

$$M/x = F.p / \frac{\pi}{3} - 1/ + F.p / 1 - \frac{\pi}{3} = 0 \quad (57)$$

2.4.2 Výsledný ohybový moment od přítlaku, vlastní váhy, předpětí

Výsledný ohybový moment se rovná součtu jednotlivých ohybových momentů v jednotlivých intervalech souřadnice x .

Průběh posuvací sily a ohybového momentu je na obr. 19.

	moment od přítlaku	moment od vlastní váhy	moment od předpětí
$x \in [0, d]$	$40.x$	$8,4.x - 0,02.x^2$	0
$x \in [d, d+b]$	$41,64.x - 0,13.x^2 - 5,15$	$8,483.x - 0,0265.x^2 - 0,516 - F.p$	
$x \in [d+b, e]$	$12,8 \cdot 10^3 - 40.x$	$4,4.x - 0,02.x^2 + 640,2$	0

Výsledný ohybový moment:

$$x \in [0, d] \quad M/x = 48,4.x - 0,02.x^2 \quad (58)$$

$$x \in [d, d+b] \quad M/x = 50,123.x - 0,157.x^2 - 5,666 - F.p \quad (59)$$

$$x \in [d+b, e] \quad M/x = 13,44 \cdot 10^3 - 35,6.x - 0,02.x^2 \quad (60)$$

2.4.3 Vlastní řešení průběhu

$$I/x \in [0, d]$$

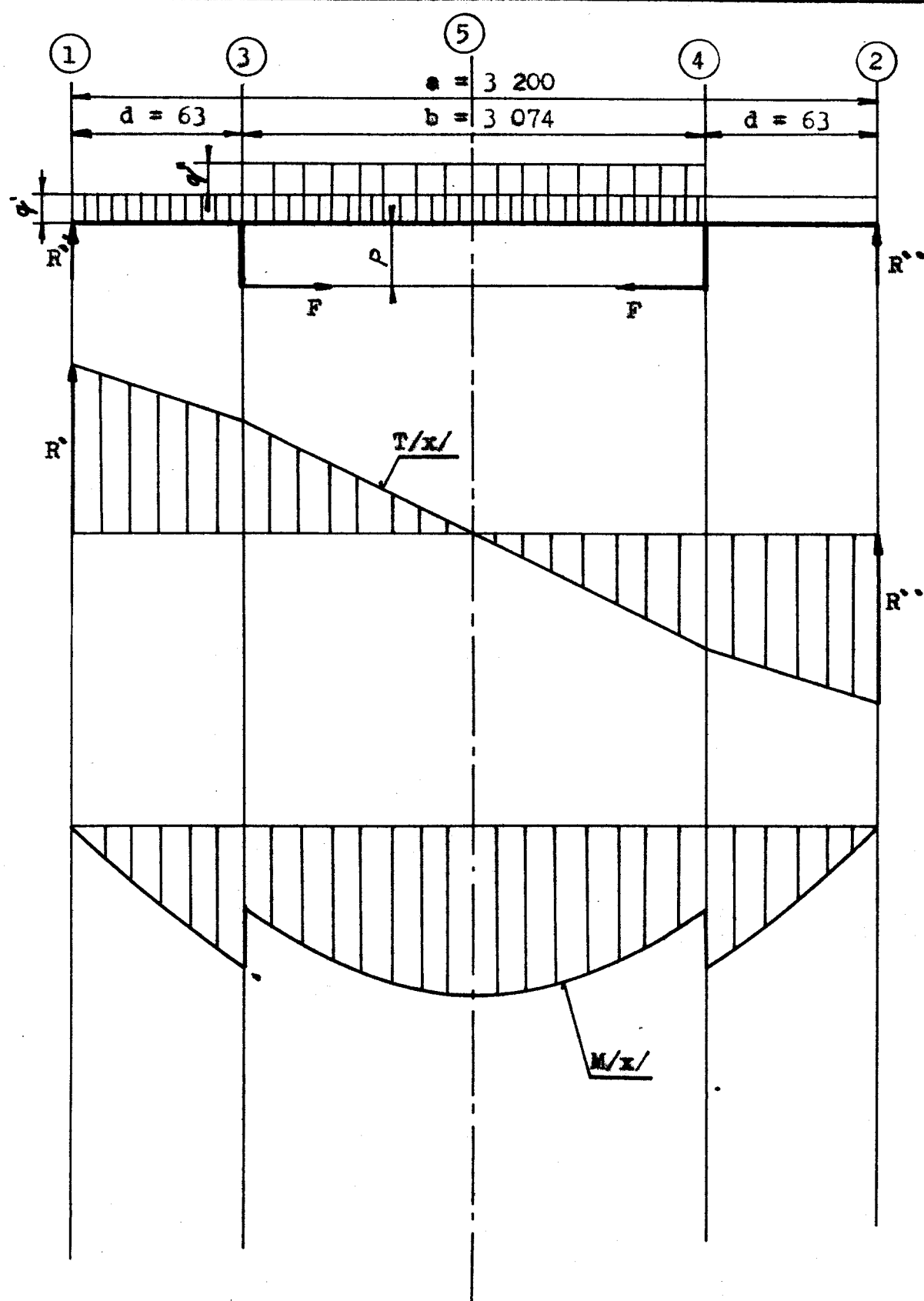
$$M/x = 48,4.x - 0,02.x^2$$

$$J_y = 18,6 \text{ [cm}^4\text{]}$$

$$w'' = - \frac{48,4.x - 0,02.x^2}{2,1 \cdot 10^6 \cdot 18,6} = -1,24 \cdot 10^6 \cdot x + 0,512 \cdot 10^9 \cdot x^2 \quad (61)$$

$$w' = -0,62 \cdot 10^6 \cdot x^2 + 0,17 \cdot 10^9 \cdot x^3 + K_1 \quad (62)$$

$$w = -0,206 \cdot 10^6 \cdot x^3 + 0,0426 \cdot 10^9 \cdot x^4 + K_1 \cdot x + K_2 \quad (63)$$



obr.18 - Průběh posuvnací síly a ohýbového momentu

II/ $\infty < d, d+b >$

$$M/x = 50,123 \cdot x - 0,157 \cdot x^2 - 5,666 - F \cdot p$$

$$J_y = 59,97 \text{ [cm}^4]$$

$$\ddot{w} = - \frac{50,123 \cdot x - 0,157 \cdot x^2 - 5,666 - F \cdot p}{2,1 \cdot 10^6 \cdot 59,97} = \quad (64)$$

$$= -0,398 \cdot 10^6 \cdot x + 1,25 \cdot 10^9 \cdot x^2 + 4,5 \cdot 10^8 + 4,48 \cdot 10^8 \cdot F$$

$$w' = -0,199 \cdot 10^6 \cdot x^2 + 0,417 \cdot 10^9 \cdot x^3 + /4,5+4,48 \cdot F/.10^8 \cdot x + K_3 \quad (65)$$

$$w = -0,0663 \cdot 10^6 \cdot x^3 + 0,106 \cdot 10^9 \cdot x^4 + /2,25+2,24 \cdot F/.10^8 \cdot x^2 + K_3 \cdot x + K_4 \quad (66)$$

III/ $\infty < d+b, \infty >$

$$M/x = 13,44 \cdot 10^3 - 35,6 \cdot x - 0,02 \cdot x^2$$

$$J_y = 18,6 \text{ [cm}^4]$$

$$\ddot{w} = - \frac{13,44 \cdot 10^3 - 35,6 \cdot x - 0,02 \cdot x^2}{2,1 \cdot 10^6 \cdot 18,6} =$$

$$= -0,344 \cdot 10^3 + 0,91 \cdot 10^6 \cdot x + 0,512 \cdot 10^9 \cdot x^2 \quad (67)$$

$$w' = -0,344 \cdot 10^3 \cdot x + 0,455 \cdot 10^6 \cdot x^2 + 0,171 \cdot 10^9 \cdot x^3 + K_5 \quad (68)$$

$$w = -0,172 \cdot 10^3 \cdot x^2 + 0,152 \cdot 10^6 \cdot x^3 + 0,043 \cdot 10^9 \cdot x^4 + K_5 \cdot x + K_6 \quad (69)$$

2.4.4 Výpočet integračních konstant

Integrační konstanty v tomto případě vyjádříme jako funkce síly F s využitím dříve již použitých okrajových podmínek.

$$\bullet/ w_1 = 0 \text{ pro } x = 0 \text{ [cm]}$$

$$0 = -0,206 \cdot 10^6 \cdot 0 + 0,426 \cdot 10^9 \cdot 0 + K_1 \cdot 0 + K_2 \quad K_2 = 0$$

b/ $w_2' = 0$ pro $x = a$ [cm]

$$0 = -0,172 \cdot 10^3 \cdot 320^2 + 0,152 \cdot 10^6 \cdot 320^3 + 0,043 \cdot 10^9 \cdot 320^4 + K_5 \cdot 320 + K_6$$

$$320K_5 + K_6 - 12,143 = 0 \quad (70)$$

c/ $w_5' = 0$ pro $x = \frac{a}{2}$ [cm]

$$0 = -0,199 \cdot 10^6 \cdot 160^2 + 0,417 \cdot 10^9 \cdot 160^3 + /4,5+4,48.F/.10^8 \cdot 160 + K_3$$

$$\underline{K_3 = 3,32 \cdot 10^3 - 7,16 \cdot 10^6 \cdot F} \quad (71)$$

d/ $w_{3+}' = w_{3-}'$ pro $x = d$ [cm]

$$-0,62 \cdot 10^6 \cdot 6,3^2 + 0,171 \cdot 10^9 \cdot 6,3^3 + K_1 =$$

$$= -0,199 \cdot 10^6 \cdot 6,3^2 + 0,417 \cdot 10^9 \cdot 6,3^3 + /4,5+4,48.F/.10^8 \cdot 6,3 + K_3$$

$$-24,457 \cdot 10^6 + K_1 = -7,493 \cdot 10^6 + 0,282 \cdot 10^6 \cdot F + K_3$$

$$K_1 = 19,964 \cdot 10^3 + 0,282 \cdot 10^6 \cdot F + 3,32 \cdot 10^3 - 7,16 \cdot 10^6 \cdot F$$

$$\underline{K_1 = 3,34 \cdot 10^3 - 6,878 \cdot 10^6 \cdot F} \quad (72)$$

e/ $w_{4+}' = w_{4-}'$ pro $x = d+b$ [cm]

$$-0,199 \cdot 10^6 \cdot 313,7^2 + 0,417 \cdot 10^9 \cdot 313,7^3 + /4,5+4,48.F/.10^8 \cdot 313,7 + K_3 =$$

$$-0,344 \cdot 10^3 \cdot 313,7 + 0,455 \cdot 10^6 \cdot 313,7^2 + 0,171 \cdot 10^9 \cdot 313,7^3 + K_5$$

$$-0,332 \cdot 10^2 + 0,689 \cdot 10^5 \cdot F = -58,14 \cdot 10^3 + K_5$$

$$\underline{K_5 = 54,91 \cdot 10^3 + 0,689 \cdot 10^5 \cdot F} \quad (73)$$

$$f / w_+ / d = w_- / d \quad \text{pro } x = d \text{ [cm]}$$

$$-0,206 \cdot 10^6 \cdot 6,3^2 + 0,0426 \cdot 10^9 \cdot 6,3^4 + /3,39 \cdot 10^3 - 6,875 \cdot 10^6.$$

$$\cdot F / 6,3 = -0,0663 \cdot 10^6 \cdot 6,3^3 + 0,106 \cdot 10^9 \cdot 6,3^4 + \\ + /2,25 + 2,24 \cdot F / \cdot 10^8 \cdot 6,3^2 + /3,32 \cdot 10^3 - 7,16 \cdot 10^6.$$

$$\cdot F / 6,3 + K_4$$

$$\underline{\underline{K_4 = 0,364 \cdot 10^3 + 0,913 \cdot 10^6 \cdot F}} \quad (74)$$

Z rovnice (70) určíme K_6 v závislosti na síle F .

$$\underline{\underline{K_6 = -5,15 - 2,2 \cdot 10^3 \cdot F}} \quad (75)$$

2.4.5 Výpočet sily F

Sílu F určíme z rovnice pro maximální průhyb trysky. Ze symetrie trysky plyne, že maximální průhyb bude ve středu trysky. Maximální povolený průhyb trysky je $0,2 \text{ mm}$.

Abychom zajistili určitou bezpečnost budeme sílu F určovat pro průhyb $0,1 \text{ mm}$.

Z rovnice ohýbové čáry plyne:

$$0,01 = -0,0663 \cdot 10^6 \cdot 160^3 + 0,106 \cdot 10^9 \cdot 160^4 + /2,25 + 2,24 \cdot F / \cdot 10^8 \cdot 160^2 + /3,32 \cdot 10^3 - 7,16 \cdot 10^6 \cdot F / \cdot 160 + 0,364 \cdot 10^3 + \\ + 0,913 \cdot 10^6 \cdot F \quad (76)$$

$$0,01 = -0,272 + 0,0695 + 5,76 \cdot 10^4 + 5,73 \cdot 10^4 \cdot F + 0,531 - \\ - 0,1145 \cdot 10^2 \cdot F + 0,364 \cdot 10^3 + 0,913 \cdot 10^6 \cdot F \quad (77)$$

$$F = \frac{0,31874}{571,087 \cdot 10^6} = 558 \text{ [kp]}$$

$$\underline{\underline{F = 5,474 \text{ kN}}}$$

2.4.6 Kontrola napínacího šroubu

Napínací šroub je vyroben z oceli 17246.1, jejíž pevnost v tahu je $\sigma_s = 55 \text{ [kp/mm}^2\text{]}$ a meze kluzu $\sigma_m = 21/\text{kp/mm}^2$. Šroub je namáhan prostým tahovým napětím a to silou $T = 2F = 1116 \text{ [kp]}$.

Tahové napětí ve šroubu:

$$\sigma = \frac{2 \cdot F}{P} \quad [\text{kp/mm}^2] \quad (78)$$

$P = 84,2 \text{ [mm}^2\text{]}$ - plocha jádra šroubu

Posuzujeme-li namáhání materiálu podle meze kluzu, potom bezpečnost:

$$s = \frac{\sigma_s}{\sigma} = \frac{21}{13,25} = 1,585 \quad (79)$$

Tato hodnota bezpečnosti je dostatečně vyhovující.

2.5 Namáhání trysky krutem

Barvící tryska je přitlačena určitou silou, nutnou k tomu, aby nedocházelo k úniku tiskací barvy mimo pryžové stérky, k otácející se šablomě. Při tom vzniká třecí síla, která namáhá trysku na krut. Tato síla je závislá na přitlaku, druhu použité pryže a na druhu tiskací barvy. Měřením, která byla prováděna, se zjišťovala třecí síla pro různé druhy pryží a barviv. Měření ukázala, že třecí síla je malá, a proto není nutno trysku kontrolovat na krut.

Vlastnosti trysky by bylo nutno ověřit v praktických zkouškách na funkčním modelu.

3. Tlakový systém dodávky barvy

Barva je do barvící trysky dodávána zubovým čerpadlem poháněným přes variátor. Jestliže je převod variátoru nastaven na určité otáčky, dodává čerpadlo konstantní množství tiskací barvy. Tlak barvy v trysce při tom kolísá v závislosti na odběru barvy /tzn., že závisí na krytí vzoru, na druhu potiskované tkaniny, atd./.

Aby docházelo k rovnoměrnému potisku materiálu barvou, musí tlak barvy v trysce kolísat v určitém rozmezí, které závisí na používané tiskací barvě a na potiskované látce. Maximální tlak v trysce je dán těsnící schopností gumových břitů trysky.

Změny tlaku se pravidelně opakují v průběhu reportu. Vlastní pružnost dávkovacího systému je v rozsahu uvažovaného provozního tlaku trysky velmi malá. Ke zvýšení pružnosti tlakového systému je na snadě použití akumulátoru, který by umožňoval akumulaci určitého množství barvy při nerovnoměrném rozložení vzoru tak, aby při tom nedocházelo k příliš velkým změnám tlaku.

Z konstrukčního hlediska je prakticky použitelné provedení akumulátoru naplněného vzduchem. Akumulátor s pistem nebo pryžovým vačkem používaný v hydraulických obvodech, by nevyhověl pro velkou ná citlivost.

Při vývoji tiskacího stroje s rotační šablona byla provedena řada měření průběhu tlaku v trysce.

Na základě těchto měření byly sestrajeny grafy a nomogramy /viz. příloha/, ze kterých můžeme určit objem akumulátoru, který musíme u daného provedení stroje použít.

V příloze 3.1.1 je vynesena grafická závislost změny tlaku v akumulátoru a změny akumulovaného množství tiskací barvy pro určité výchozí tlaky.

V příloze 3.1.2 je vynesen nomogram pro rychlé určení spotřeby tiskací barvy během jedné otáčky šablony.

V příloze 3.1.3 je také vynesen nomogram pro rychlé určení spotřeby tiskací barvy během jedné otáčky šablony, ale pro u nás používaný sortiment tiskacích šablon.

V příloze 3.1.4 je vynesena grafická závislost přírůstku objemu a přírůstku tlaku pro vybranou řadu akumulátorů.

3.1 Určení objemu akumulátoru

Jestliže předpokládáme, že spotřeba tiskací barvy na $100[m]$ tkaniny je $50[kg]$ a krytí vzoru je 50%, potom pro dané parametry stroje / šifra 3 200/ $[mm]$, obvod šablony $830/[mm]$ / určíme s nomogramem v příloze množství spotřebované barvy na jedno otočení šablony.

$$Q = 0,675[kg] \quad (80)$$

Uvažujme, že akumulované množství barvy Q_a je 30% množství spotřebovaného.

$$Q_a = 0,202[kg] \quad (81)$$

Když předpokládáme, že střední pracovní tlak v barvici trysce je $1,2 [atm]$ a objem akumulátoru je $5[l]$ můžeme z grafu v příloze určit kolísání tlaku $p = 0,029 [atm]$.

Toto kolísání tlaku v barvici trysce je poměrně malé.

Při stoupenutí výchozího tlaku na maximálně dovolenou hodnotu se tlaková kolise zvětší jenom nepatrně.

Z toho vidíme, že zapojením akumulátoru do tlakového

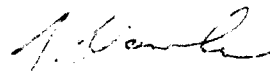
systému tiskací barvy se zlepší rovnoměrnost potisku.

Konstrukční provedení akumulátoru je na přiloženém výkresu.

4. Závěr

Hlavní náplní diplomové práce byl návrh barvící trysky rotačního šablonového tiskacího stroje fy. TOTEX pro šířku 3 200/mm] s malou hmotností, s malým průhybem a příčně stabilní. Druhou, méně obsáhlou částí, bylo navržení zařízení pro snížení kolísání tlaku.

- konstrukcí trysky bylo dosaženo váhy okolo 18/kp], což je v porovnání s původní tryskou, která váží asi okolo 50/kp], dobrý výsledek
- při zachování vypočteného předpětí napínacího šroubu dosáheme průhybu trysky v dovolených mezech
- konstrukce trysky je poměrně robustní, z čehož se dá usoudit, že bude i dobře příčně stabilní
- tlakový systém byl doplněn jednoduchým akumulátorem, který sníží tlakové kolise a tím se docílí kvalitnějšího potisku tkaniny



Literatura

- [1] Roup, R. - Weigl, B. : Potiskování textilií. Praha, SNTL
1965.
- [2] Kolektiv autorů : Konstrukce a výpočty strojů pro
úpravny II. Liberec, VŠST Liberec
1973.
- [3] VÚTS Liberec : Zpráva o průzkumu úkolu "Rotační
šablona". Liberec, 1964.
- [4] VÚTS Liberec : Závěrečná zpráva o výzkumu úkolu
"Rotační šablona". Liberec, 1966.
- [5] VÚTS Liberec : Zpráva o výsledcích práce na úkolu
"ROŠA" 5/41-11. Liberec, 1973.
- [6] Kolektiv autorů : Textilní příručka. Praha, SNTL 1965.

